

ÁLBUM FOTOGRÁFICO
934 (27-37)
MURCIA

COORDENADAS FOTOS 934 (27-37)

Nº Foto	X	Y
27-37-IN-FG-F 1	671650	4205050
27-37-IN-FG-F 2	671700	4205050
27-37-IN-FG-F 3	663500	4196800
27-37-IN-FG-F 4	665500	4200850
27-37-IN-FG-F 5	665150	4200900
27-37-IN-FG-F 6	663700	4196450
27-37-IN-FG-F 7	673150	4205800
27-37-IN-FG-F 8	672950	4205750
27-37-IN-FL-F 9	669800	4202500
27-37-IN-FL-F 10	670000	4202450
27-37-IN-FL-F 11	670200	4201800
27-37-IN-FL-F 12	670350	4201500
27-37-IN-FL-F 13	671100	4200950
27-37-IN-FL-F 14	671250	4201500
27-37-IN-FL-F 15	670300	4201450
27-37-IN-FL-F 16	670300	4201400
27-37-IN-FL-F 17	670350	4201400
27-37-IN-FL-F 18	670350	4201390
27-37-IN-FL-F 19	670350	4201350
27-37-IN-FL-F 20	670400	4201350
27-37-IN-FL-F 21	670800	4201750
27-37-IN-FL-F 22	670800	4201700
27-37-IN-FL-F 23	670750	4201650
27-37-IN-FL-F 24	671100	4201500
27-37-IN-FL-F 25	671250	4201750
27-37-IN-FL-F 26	671250	4200000
27-37-IN-FL-F 27	671500	4199850
27-37-IN-FL-F 28	671500	4199800
27-37-IN-FL-F 29	685400	4206000
27-37-IN-FL-F 30	685350	4206150
27-37-IN-FL-F 31	687750	4206600
27-37-IN-FL-F 32	662000	4190750
27-37-IN-FL-F 33	660650	4190000
27-37-IN-FL-F 34	660750	4190350
27-37-IN-FL-F 35	660750	4190400
27-37-IN-FL-F 36	660950	4190500
27-37-IN-FL-F 37	663500	4192950
27-37-IN-FL-F 38	663500	4192500
27-37-IN-FL-F 39	663350	4191500
27-37-IN-FL-F 40	687100	4199950
27-37-IN-FL-F 41	687000	4199900

Nº Foto	X	Y
27-37-IN-FL-F 42	686600	4200500
27-37-IN-FL-F 43	686650	4200450
27-37-IN-FL-F 44	686500	4200400
27-37-IN-FL-F 45	679300	4199000
27-37-IN-FL-F 46	679250	4199000
27-37-IN-FL-F 47	679350	4199000
27-37-IN-FL-F 48	679500	4199100
27-37-IN-FL-F 49	679500	4199050
27-37-IN-FL-F 50	679500	4198950
27-37-IN-FL-F 51	679500	4198900
27-37-IN-FL-F 52	679500	4199000
27-37-IN-FL-F 53	678000	4205750
27-37-IN-FL-F 54	679550	4203200
27-37-IN-FL-F 55	678150	4202150
27-37-IN-FL-F 56	687250	4202250
27-37-IN-FL-F 57	678150	4202700
27-37-IN-FL-F 58	676300	4206750
27-37-IN-FL-F 59	674300	4200750
27-37-IN-FL-F 60	675550	4199700
27-37-IN-FL-F 61	675750	4199500
27-37-IN-FL-F 62	671500	4198650
27-37-IN-FL-F 63	671500	4198600
27-37-IN-FL-F 64	671500	4198400
27-37-IN-FL-F 65	671500	4198500
27-37-IN-FL-F 66	671500	4198300
27-37-IN-FL-F 67	671250	4198250
27-37-IN-FL-F 68	671750	4198500
27-37-IN-FL-F 69	671150	4198500
27-37-IN-FL-F 70	671800	4198000
27-37-IN-FL-F 71	671250	4198150
27-37-IN-FL-F 72	671500	4198250
27-37-IN-FL-F 73	671500	4198150
27-37-IN-FL-F 74	671300	4197450
27-37-IN-FL-F 75	671300	4197400
27-37-IN-FL-F 76	666000	4199500
27-37-IN-FL-F 77	665600	4198650
27-37-IN-FL-F 78	666550	4199750
27-37-IN-FL-F 79	665500	4198100
27-37-IN-FL-F 80	665500	4198050
27-37-IN-FL-F 81	665750	4198300
27-37-IN-FL-F 82	665750	4198150



27-37-IN-FG- F 1.- Panorámica desde el Puerto de Miravete (tomada hacia el oeste), en la que se observa el frente morfológico septentrional de la Sierra de la Cresta del Gallo



27-37-IN-FG- F 2.- Panorámica desde el Puerto de Miravete (tomada hacia el NE). Rocas carbonatas y yesos de la Unidad de Carrascoy. Complejo Alpujarride.



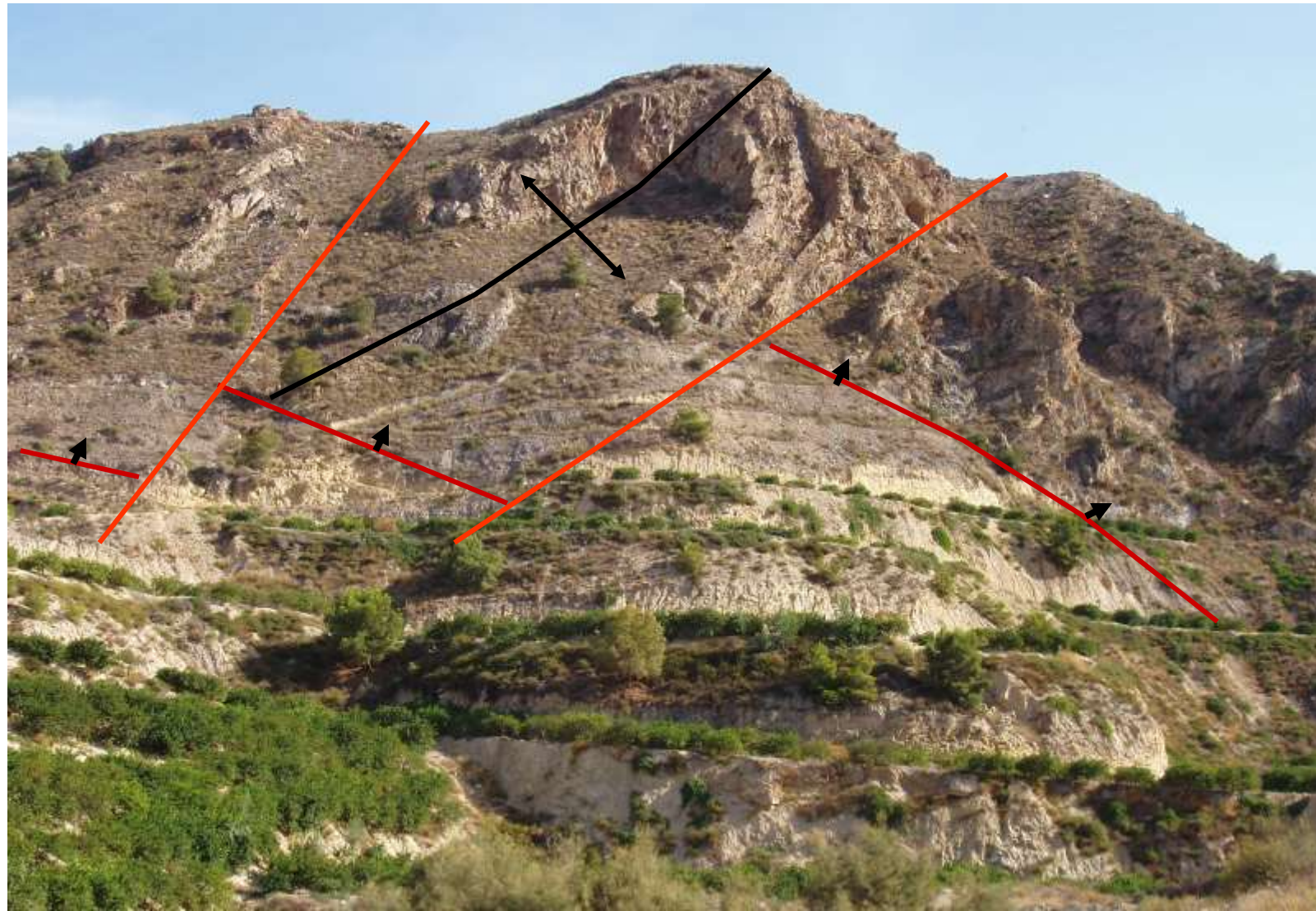
27-37-IN-FG- F 3.- Caliza de fucoides. Formación Carbonatada (U.3) de la Unidad de Carrascoy. Complejo Alpujárride



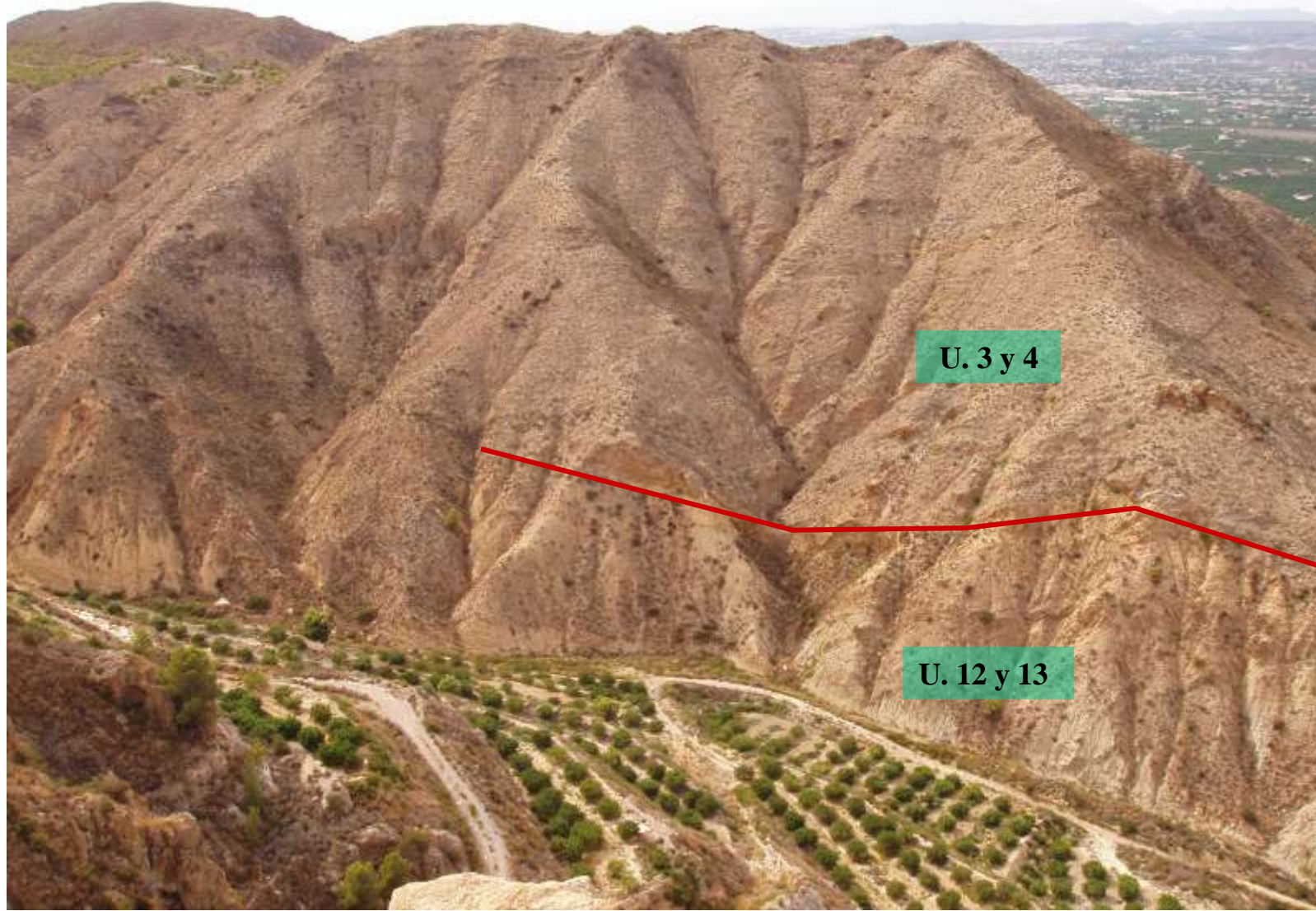
27-37-IN-FG- F 4.- Vista de las dos escamas en la Unidad de Pestillos del Complejo Alpujárride. Monasterio de La Fuensanta.



27-37-IN-FG- F 5.- Filitas (5) y carbonatos(6) muy triturados de la Unidad de Pestillos. Complejo Alpujárride. Al sur del Santo Angel.



27-37-IN-FG- F 6.- Pliegue en carbonatos (U.3) con núcleo en metapelitas (U.2). A su vez, todo el conjunto cabalga los depósitos turbidíticos tortonienses de la Unidad de la Cresta del Gallo (12 y 13)



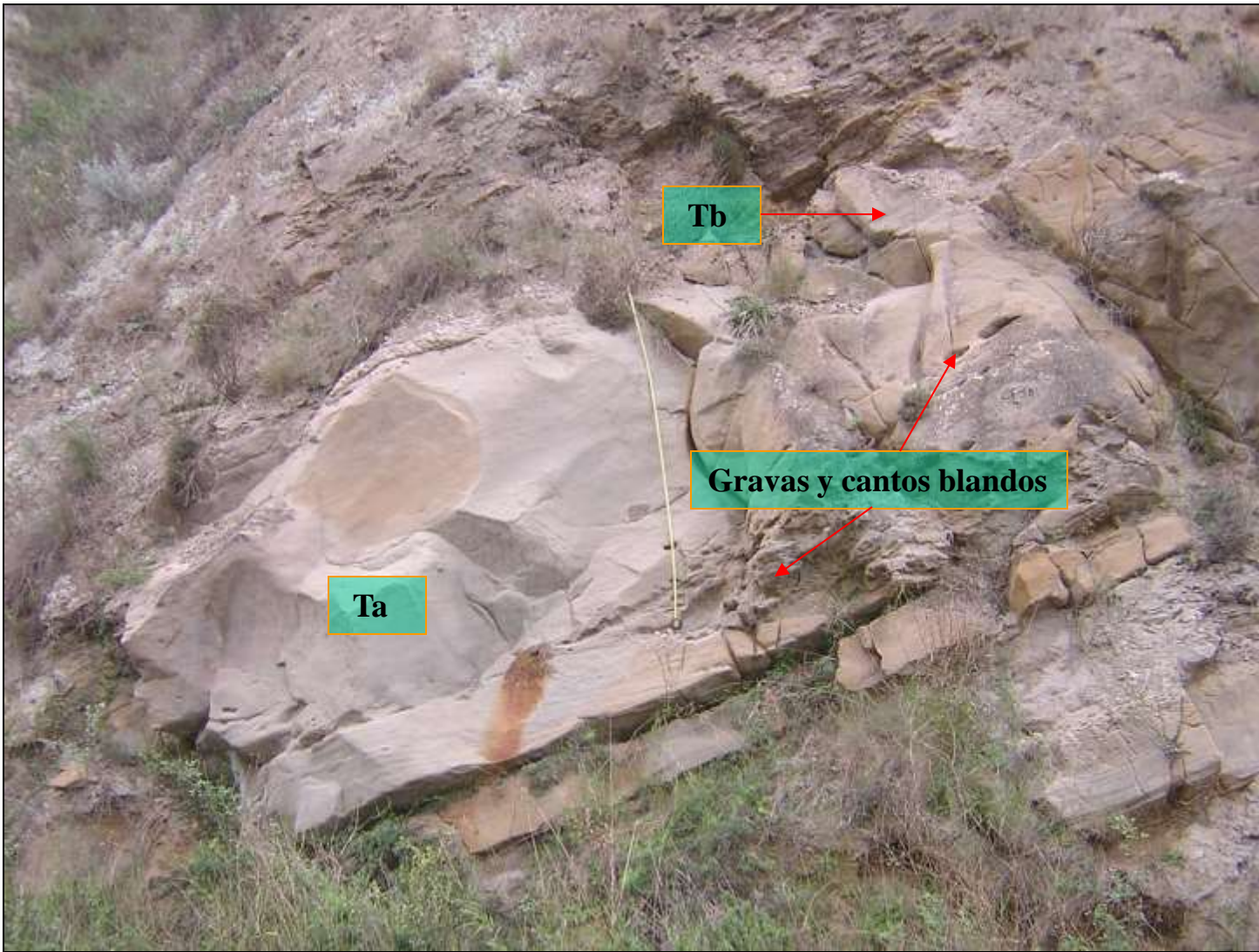
27-37-IN-FG- F 7.- Formación Carbonatada (3 y 4) de la Unidad de Carrascoy, sobre las areniscas y margas turbidíticas tortonienses de la Unidad de la Cresta del Gallo (12 y 13). Extremo NE de la Sierra de Miravete



27-37-IN-FG- F 8.- En la proximidad de la foto anterior se observa esta escama menor marcada por un horizonte de filitas. Formación Carbonatada (3 y 4) de la Unidad de Carrascoy. Complejo Alpujárride



27-37-IN-FL- F 9.- Conglomerados polimícticos y heterométricos, Cresta del Gallo (11). Afloramiento de la granja La Cábila en la carretera de Los Garres a Las Casas del Cura.



27-37-IN-FL- F 10.- Areniscas micáceas, limos y margas en facies turbidíticas (12). Secuencia Ta-c con un termino a de espesor métrico, en litarenitas con cantos blandos.



27-37-IN-FL- F 11.- Arquitectura en megasecuencias CUS de las facies turbidíticas de la Unidad (12). Abanico aluvial discordante sobre las turbiditas. Carretera de Los Garres a Las Casas del Cura



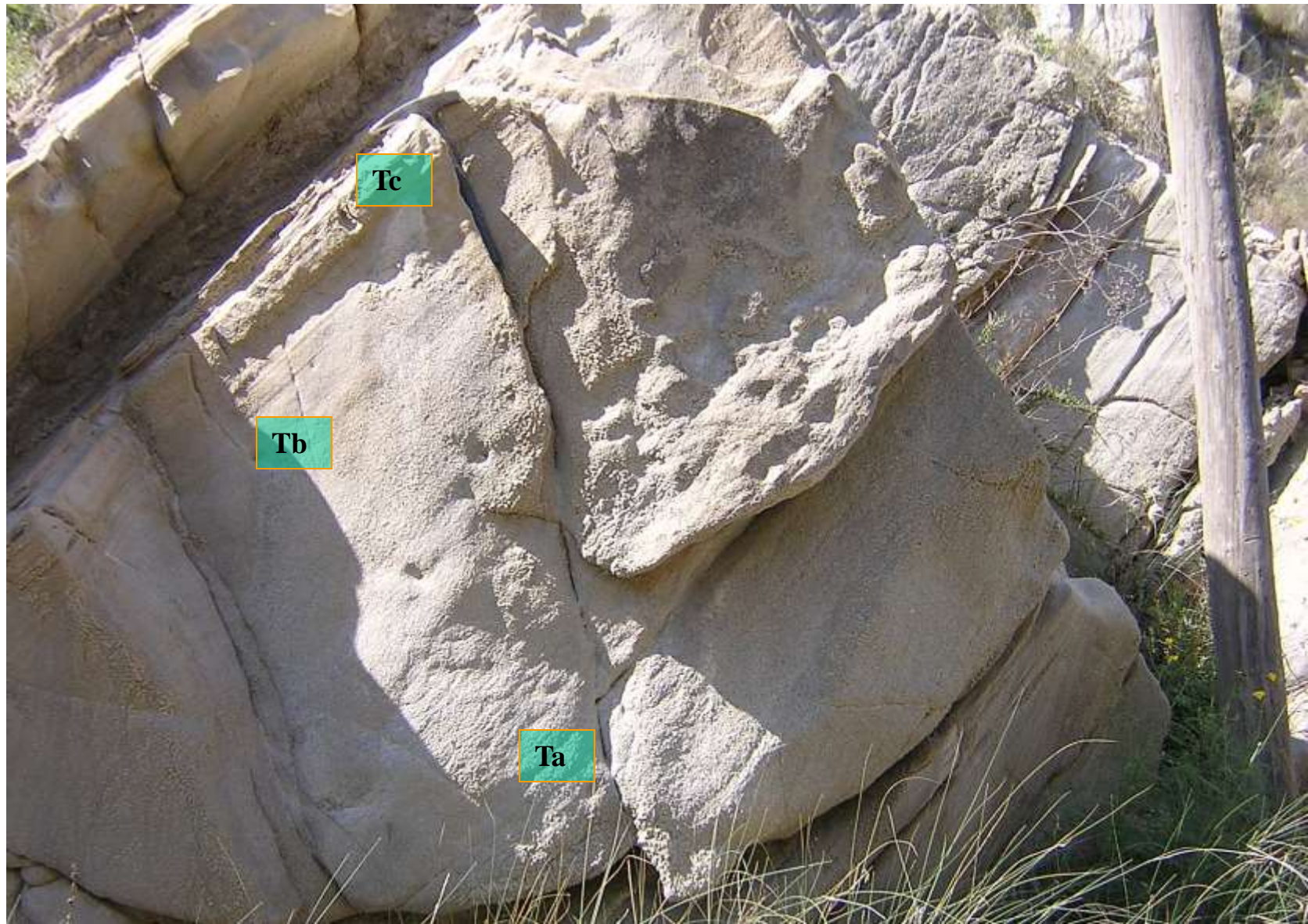
27-37-IN-FL- F 12.- Carretera de Los Garres a Las Casas del Cura. Arquitectura en megasecuencias CUS de las facies turbidíticas de la Unidad (12). Las secuencias basales son facies de brechas y eslumpadas



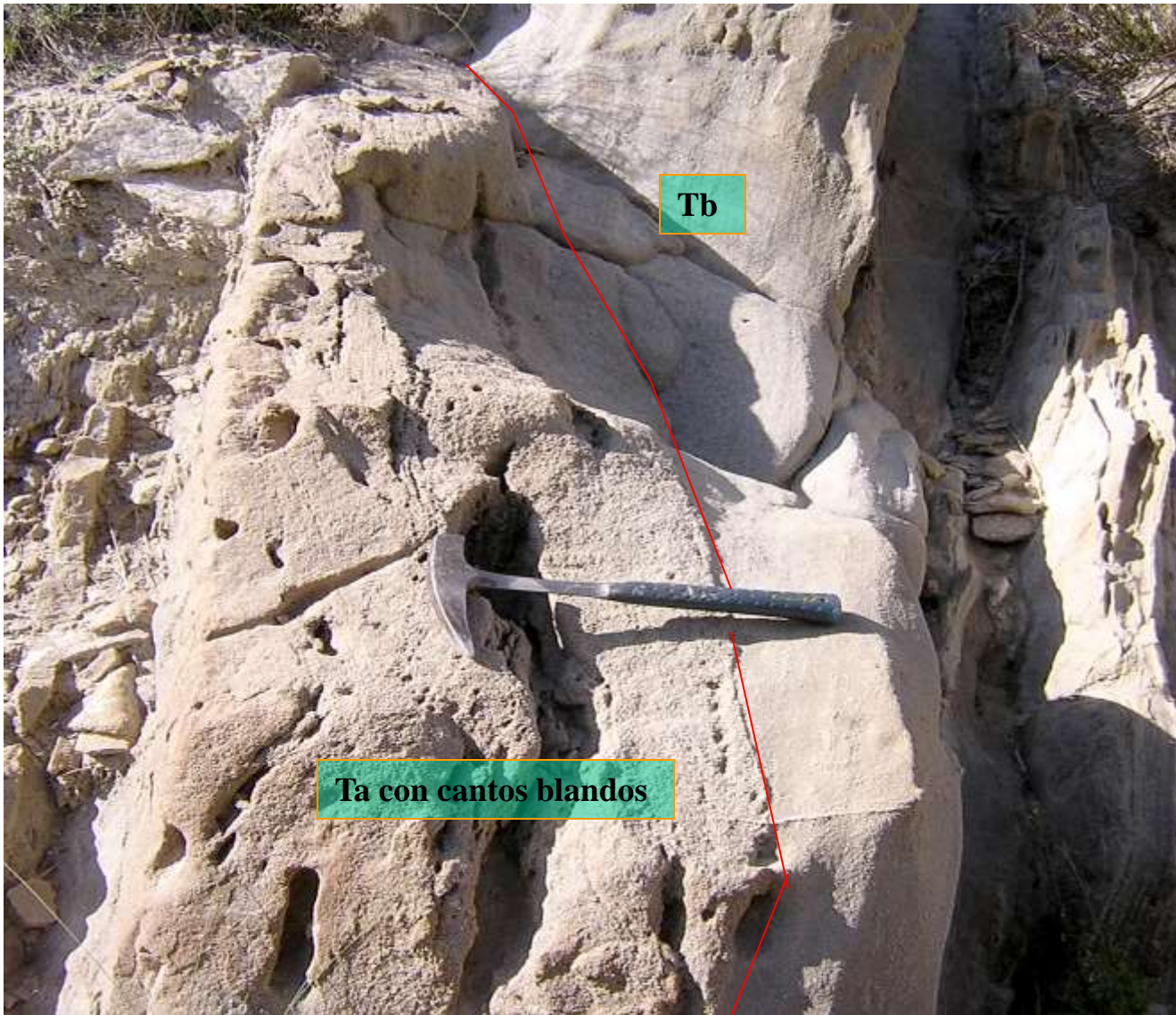
27-37-IN-FL- F 13.- Carretera de Los Garres a Las Casas del Cura. Cruce con la pista a la Ermita de la Tercia. Aspecto de las megasecuencias CUS en las facies turbidíticas de la Unidad (12)



27-37-IN-FL- F 14.-Carretera de Los Garres a Las Casas del Cura. Pista a Los Mecas. Secuencias Ta-c con espesor métrico, base erosiva y bioclastos dispersos en el termino b de la Unidad (12)



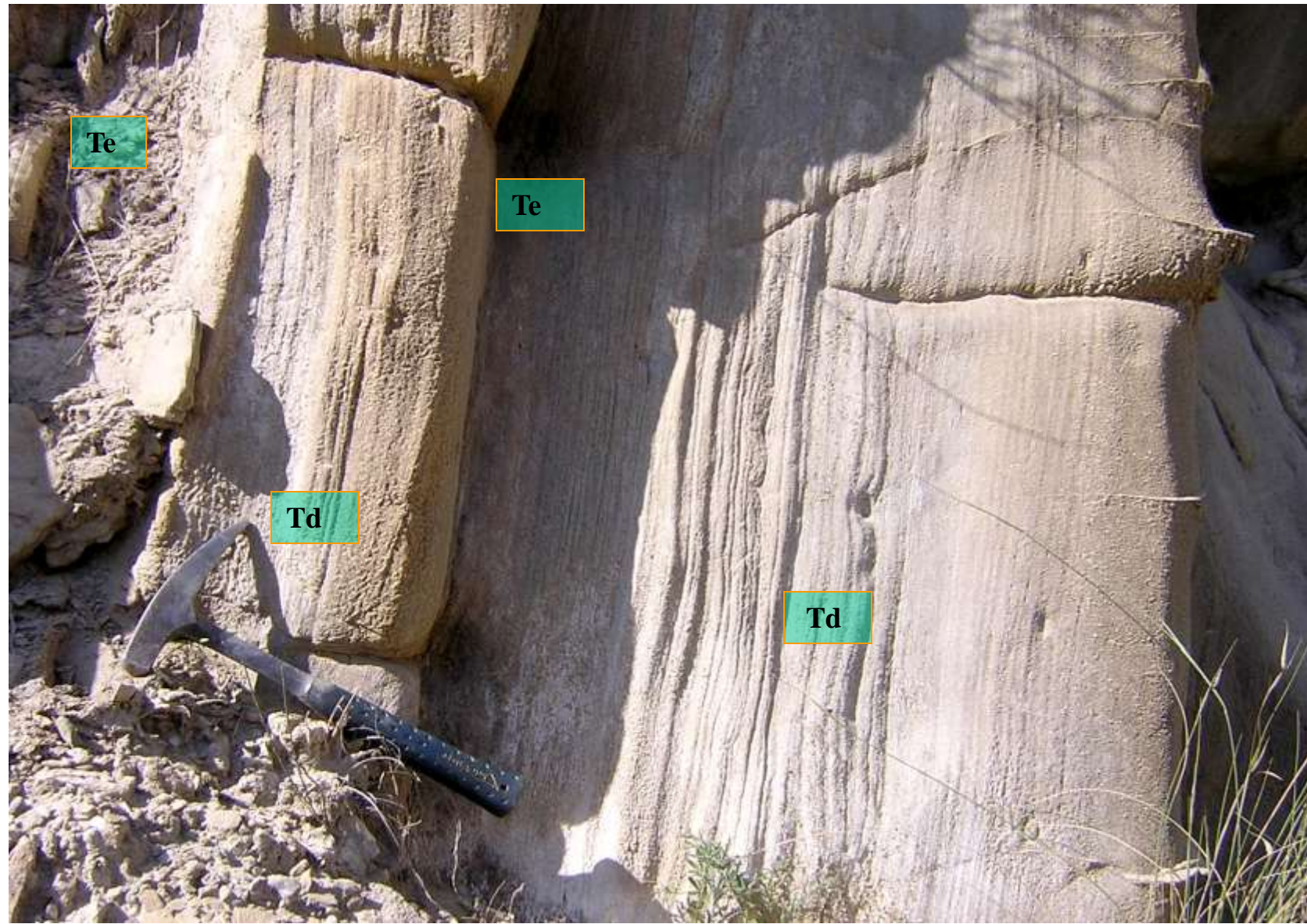
27-37-IN-FL- F 15.- Secuencias Ta-c de espesor métrico. Subarcosas de grano grueso a fino
Unidad (12). Carretera de Los Garres a Las Casas del Cura.



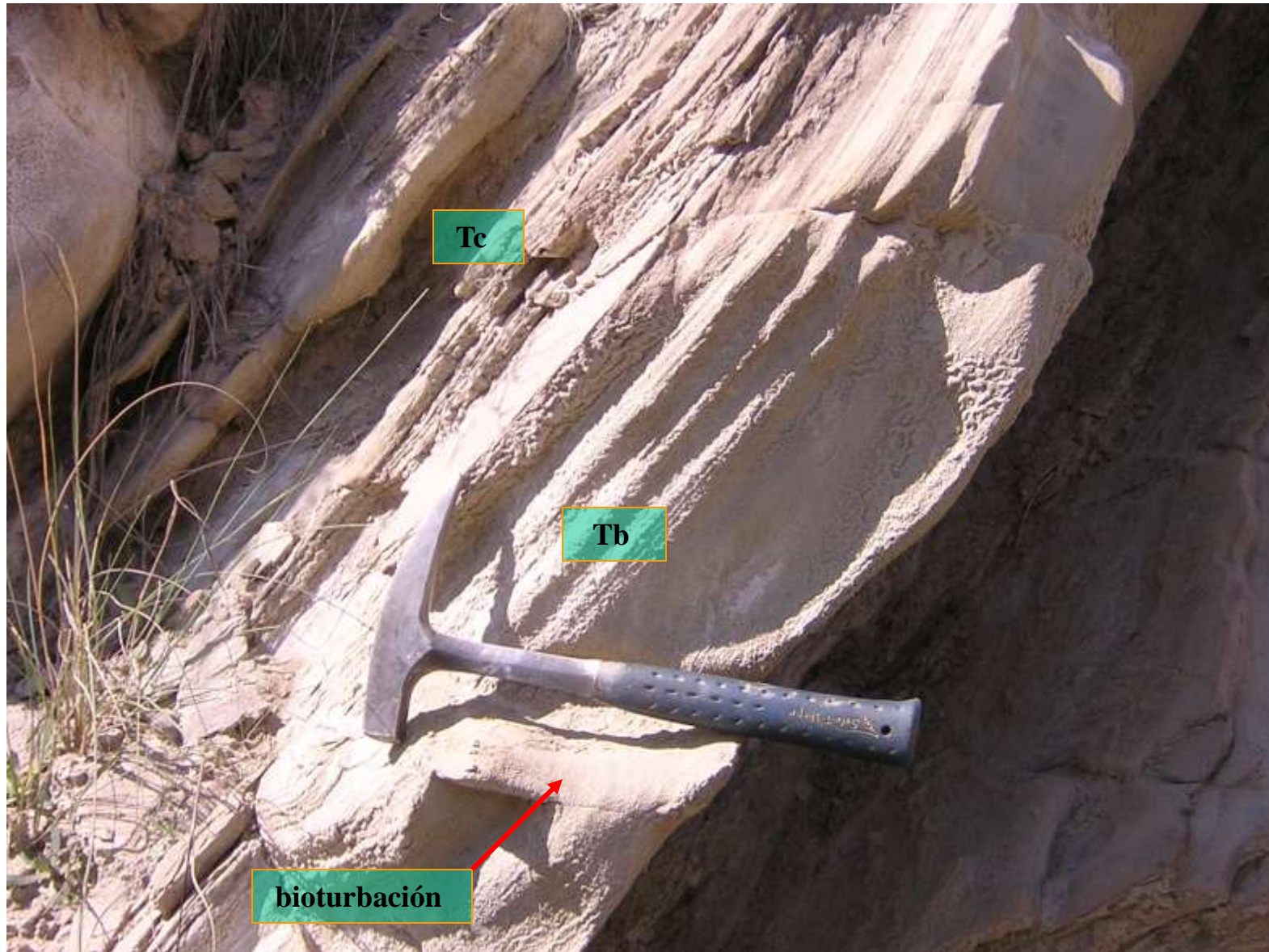
27-37-IN-FL- F 16.- Secuencia de relleno de canal, erosiva sobre el termino Tb de la secuencia precedente. Sbarcosas de la Unidad (12) Carretera de Los Garres a Las Casas del Cura.



27-37-IN-FL- F 17.- Secuencia Tb-c con ambos términos muy bien desarrollados. Observense las estructuras flame en el Tc. Unidad (12). Carretera de Los Garres a Las Casas del Cura.



27-37-IN-FL- F 18.- Secuencias Td-e en areniscas de grano muy fino, limolitas y margas de la Unidad (12). Carretera de Los Garres a Las Casas del Cura.



27-37-IN-FL- F 19.- Secuencias Tb-c en areniscas de grano fino con bioturbación y limos con linsen-flaser. Unidad (12). Carretera de Los Garres a Las Casas del Cura.



27-37-IN-FL- F 20.- Marcas de corriente (flute y crescent) en la base de una capa turbidítica de la Unidad (12). Carretera de Los Garres a Las Casas del Cura.



27-37-IN-FL- F 21.- Conglomerados polimícticos y heterométricos de la Unidad (11). Afloramiento de El Puntarrón, en la carretera de Los Garres a Las Casas del Cura



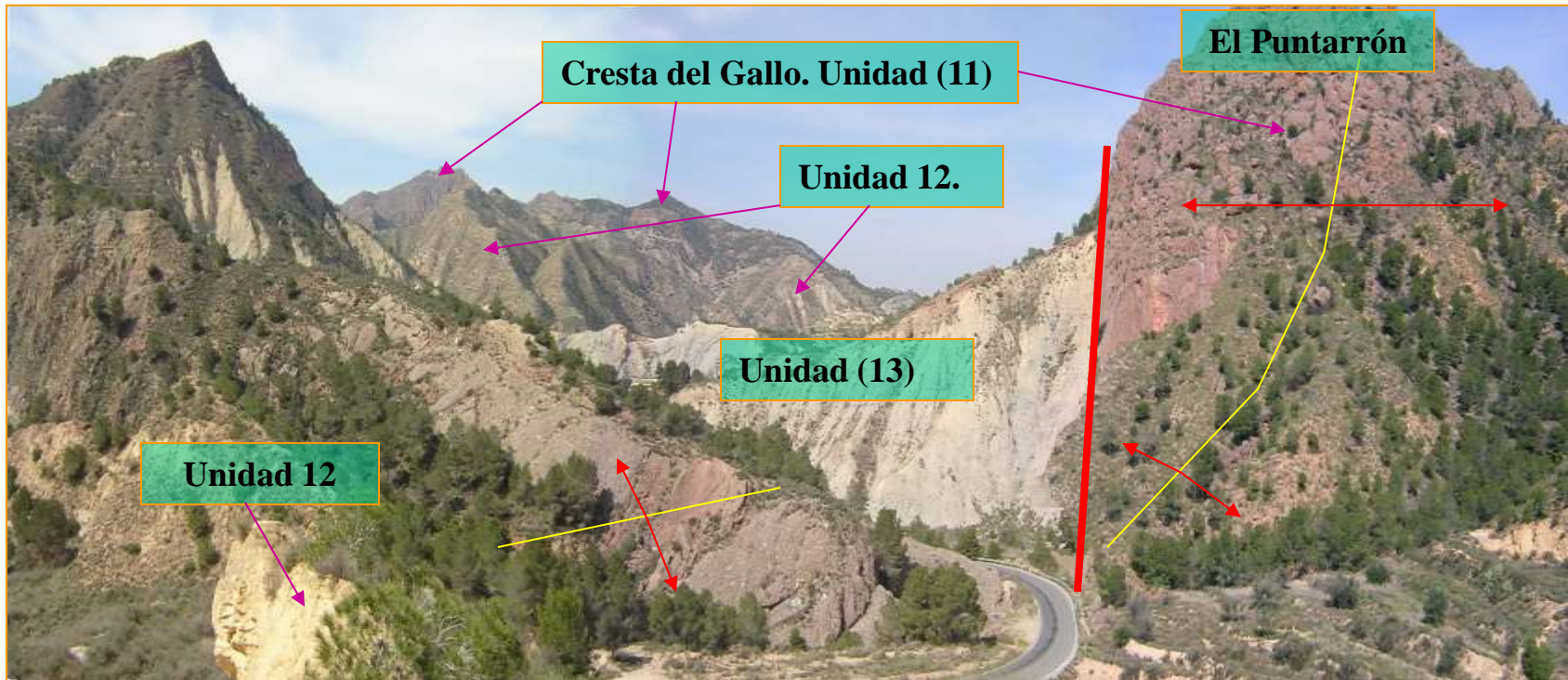
27-37-IN-FL- F 22.- Vista de los conglomerados de la Unidad (11) en el afloramiento de El Puntarrón. Carretera de Los Garres a Las Casas del Cura.



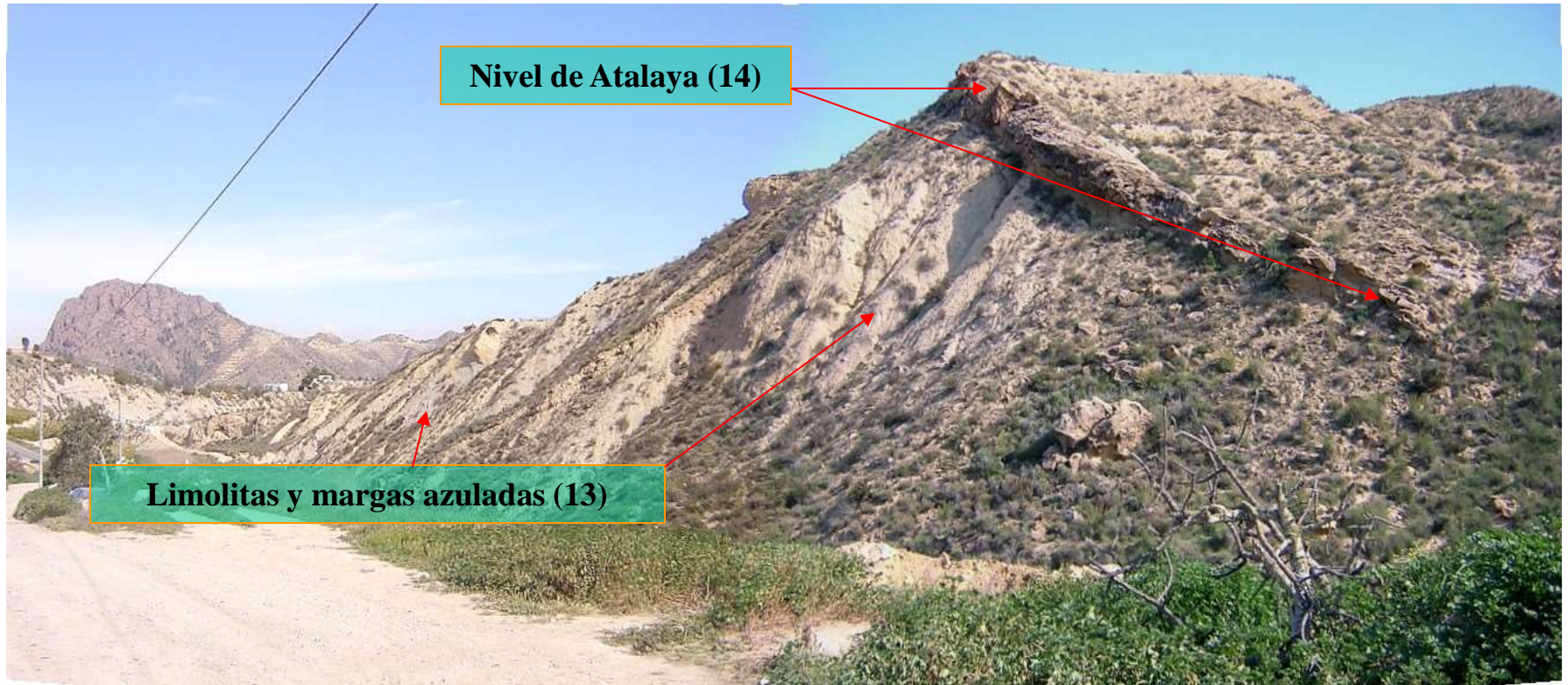
27-37-IN-FL- F 23.- Detalle de los conglomerados de la Unidad (11) en el afloramiento de El Puntarrón. Observense la granoclasificación grosera y las cicatrices erosivas. Carretera de Los Garres a Las Casas del Cura.



27-37-IN-FL- F 24.- Limolitas y margas gris-azuladas de la Unidad (13), facies de turbiditas diluidas. Punto de cruce de la Rambla del Soldado con la Carretera de Los Garres a Las Casas del Cura.



27-37-IN-FL- F 25.- Panorámica Sur-Norte desde el collado de Las Higueras en la Carretera de Los Garres a Las Casas del Cura. En primer plano el anticlinal muy fracturado de El Puntarrón con los conglomerados Rojos de la Unidad (11) en su núcleo. En segundo plano el sinclinalio en los depósitos turbidíticos de las Unidades (12 y 13) y el horizonte último es la Cresta del Gallo con los conglomerados de la Unidad (11)



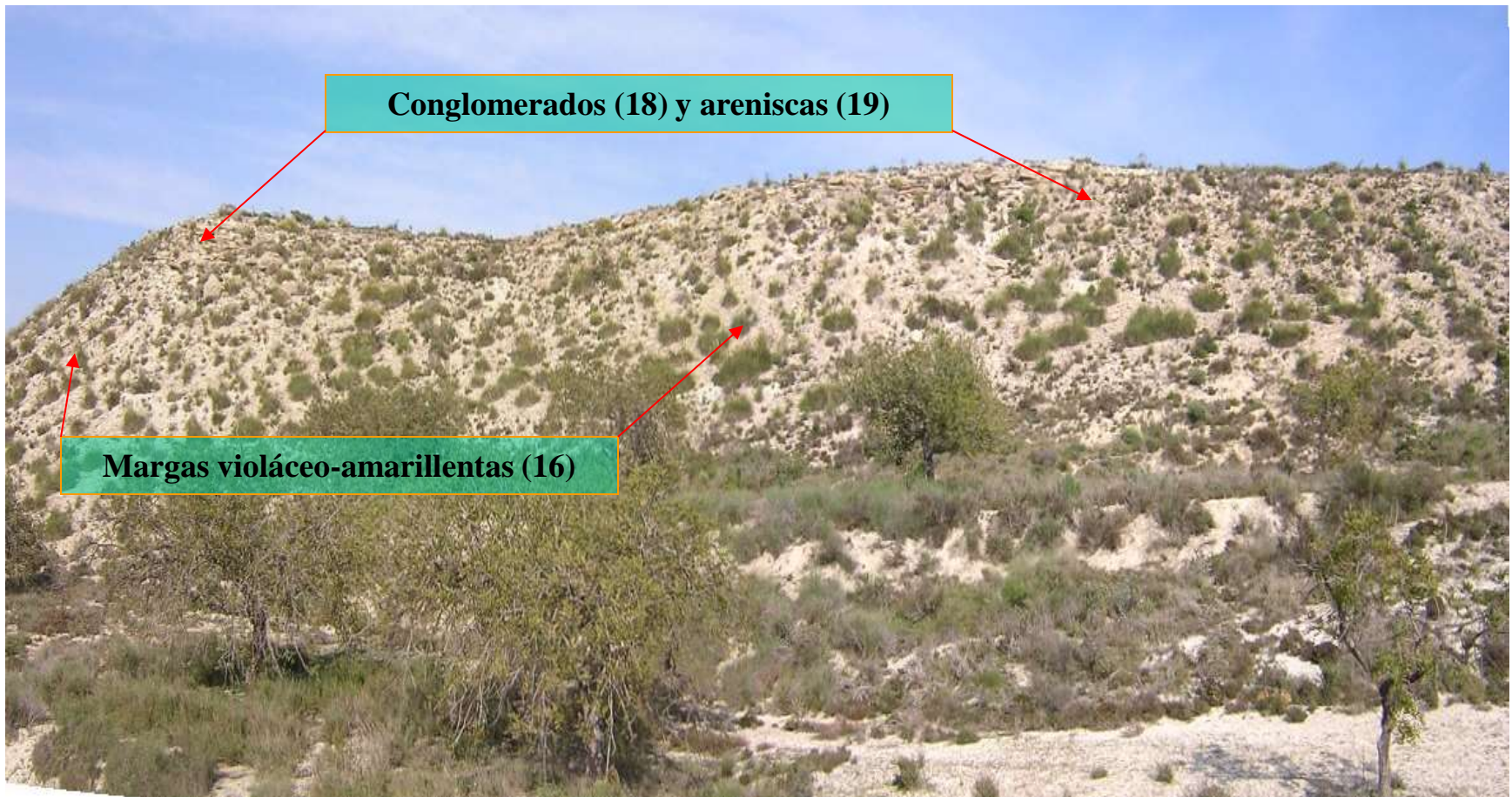
27-37-IN-FL- F 26.- El Nivel de Atalaya. Conglomerados calclíticos (14) discordantes sobre los limos y margas gris azulados de la Unidad (13). Carretera de Los Garres a Las Casas del Cura.



27-37-IN-FL- F 27.- Conglomerados (14) y areniscas con cantos amarillas (15), del Nivel de Atalaya. Carretera de Los Garres a Las Casas del Cura.



27-37-IN-FL- F 28.- Las arenas calcáreas amarillas del Nivel de Atalaya (15). Obsérvese la presencia, en el tramo inferior, de cantos redondeados de arenisca de grano medio grueso, marcando los set de la estratificación cruzada en surco. Carretera de Los Garres a Las Casas del Cura.



27-37-IN-FL- F 29.- Conglomerados (18) y areniscas calcáreas bioclásticas (19), discordantes sobre margas violáceas y amarillentas de la Unidad (16). Casa del Tío Isidro en la Carretera de Monte Blanco a Torremendo



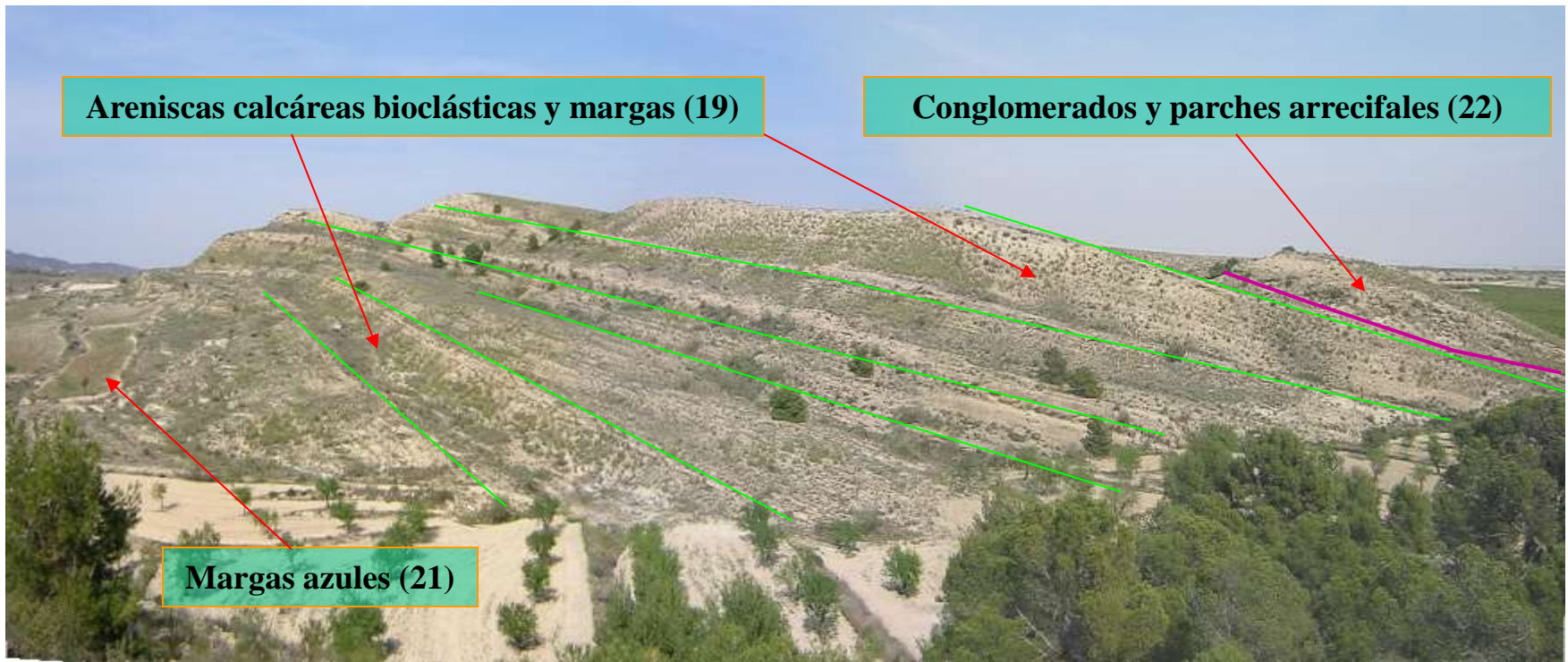
27-37-IN-FL- F 30.- Detalle de la areniscas calcáreas bioclásticas amarillentas de la Unidad (15)



27-37-IN-FL- F 31.- Margas azules y areniscas calcáreas bioclásticas (21) en la salida de la carretera de Torremendo a San Miguel de las Salinas



27-37-IN-FL- F 32.-Trabajos de desmonte y reacondicionamiento agrícola en los conglomerados, arenas y arcillas rojos con niveles de calcretas de la unidad aluvial (30). Vista hacia el oeste desde la carretera de Corvera a los Brianes



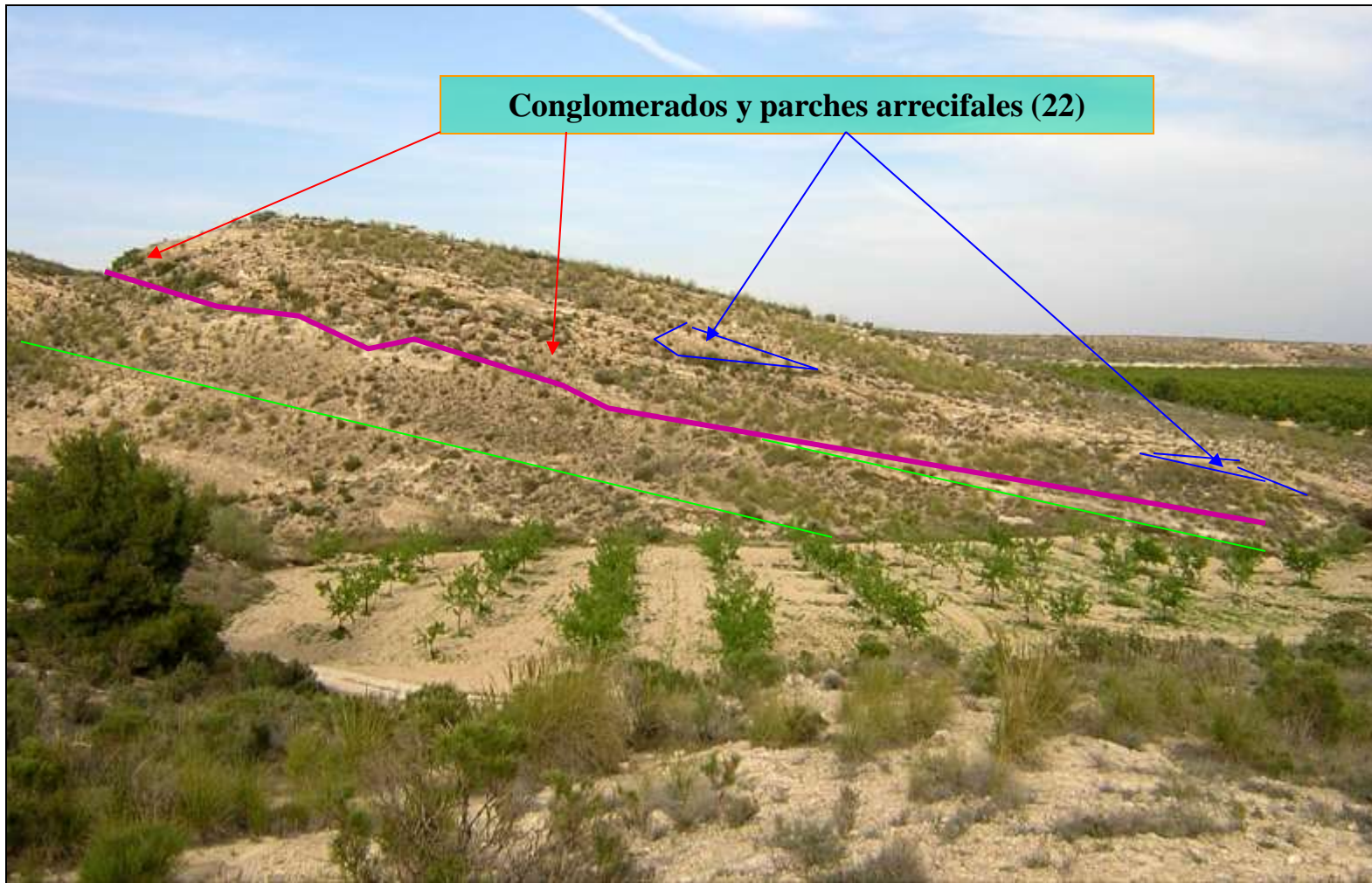
27-37-IN-FL- F 33.- Areniscas calcáreas bioclásticas y margas(19) del abanico deltaico de la Cañada de Lorca al NO de Corvera. Obsérvese el acuñamiento de las barras de arena y la discordancia basal de la USD V (Messiniense)



27-37-IN-FL- F 34.- Morfología de las barras de arena (bar finger sand), con facies de relleno de canal cortando los depósitos de areniscas de grano fino masivas. Unidad (19).



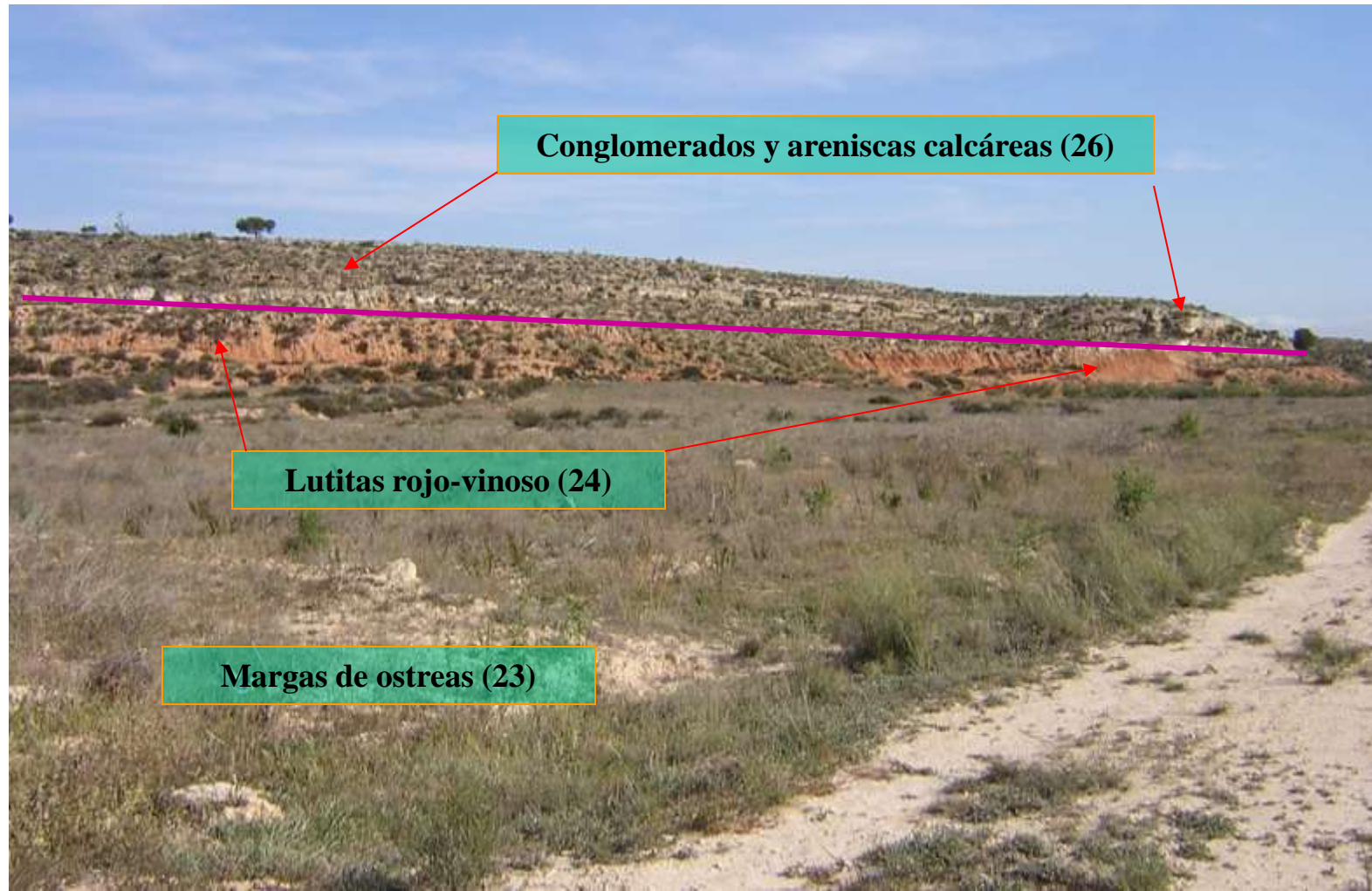
27-37-IN-FL- F 35.- Secuencias hummocky cross stratification (HCS), intercaladas en los depósitos de las areniscas calcáreas amarillentas de la unidad (19).



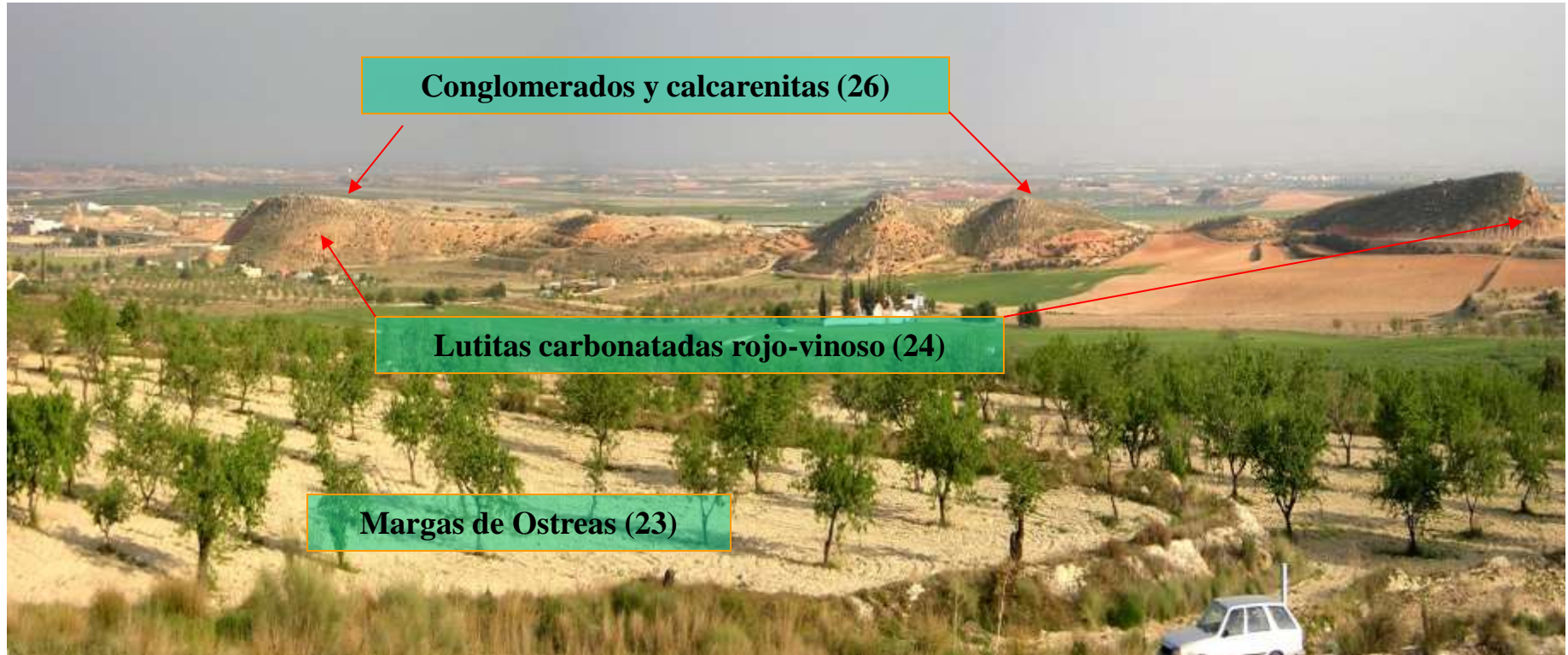
27-37-IN-FL- F 36.- Discordancia erosiva y conglomerados con parches arrecifales a techo(22), de la USD V (Messiniense) sobre las arenas calcáreas bioclásticas (19)



27-37-IN-FL- F 37.- “Margas de Ostreas” (23). Niveles lumaquélidos con espesor decimétrico a métrico. Carretera de La Naveta (Puerto de La Cadena) a Corvera.



27-37-IN-FL- F 38.- Panorámica del afloramiento de las lutitas carbonatadas rojo-vinoso (24) y sobre ellas los conglomerados y areniscas calcáreas de la unidad (26). Carretera de La Naveta (Puerto de La Cadena) a Corvera.



27-37-IN-FL- F 39.- Panorámica desde las ruinas del Castillo de las lutitas carbonatadas rojo-vinoso (24) y sobre ellas los conglomerados y areniscas calcáreas de la unidad (26) en la loma de Los Campillos entre la carretera a Corvera y la Autovía Murcia-Cartagena



27-37-IN-FL- F 40.- Margas con intercalaciones de areniscas calcáreas de grano muy fino y abundante macrofauna de lamelibranquios (23). Sector oriental. Carretera de Torremendo a Pilar de la Horadada a su paso por el Río Seco.



27-37-IN-FL- F 41.- En la serie del Río Seco, dirección a Torremendo, afloramiento de areniscas calcáreas bioclásticas (26) sobre las margas (23) de la fotografía anterior.



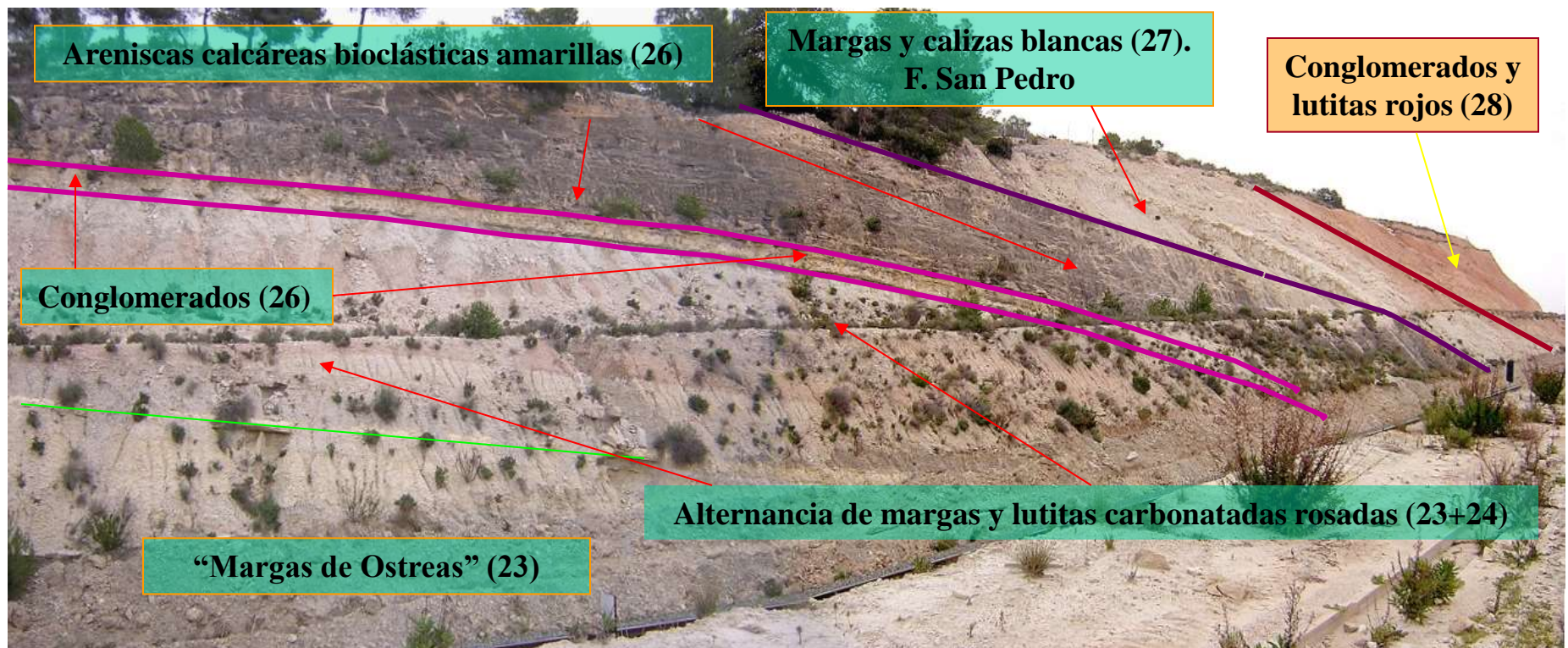
27-37-IN-FL- F 42.- En la serie de Río Seco, próximo al collado de la Casa de los Pinos Zarcos, los tramos superiores de la unidad (26), se organizan en secuencias granodecrescentes y carbonato crecientes con un termino inferior en areniscas carbonatadas anaranjadas y otro superior en mudstone dismícríticas blancas.



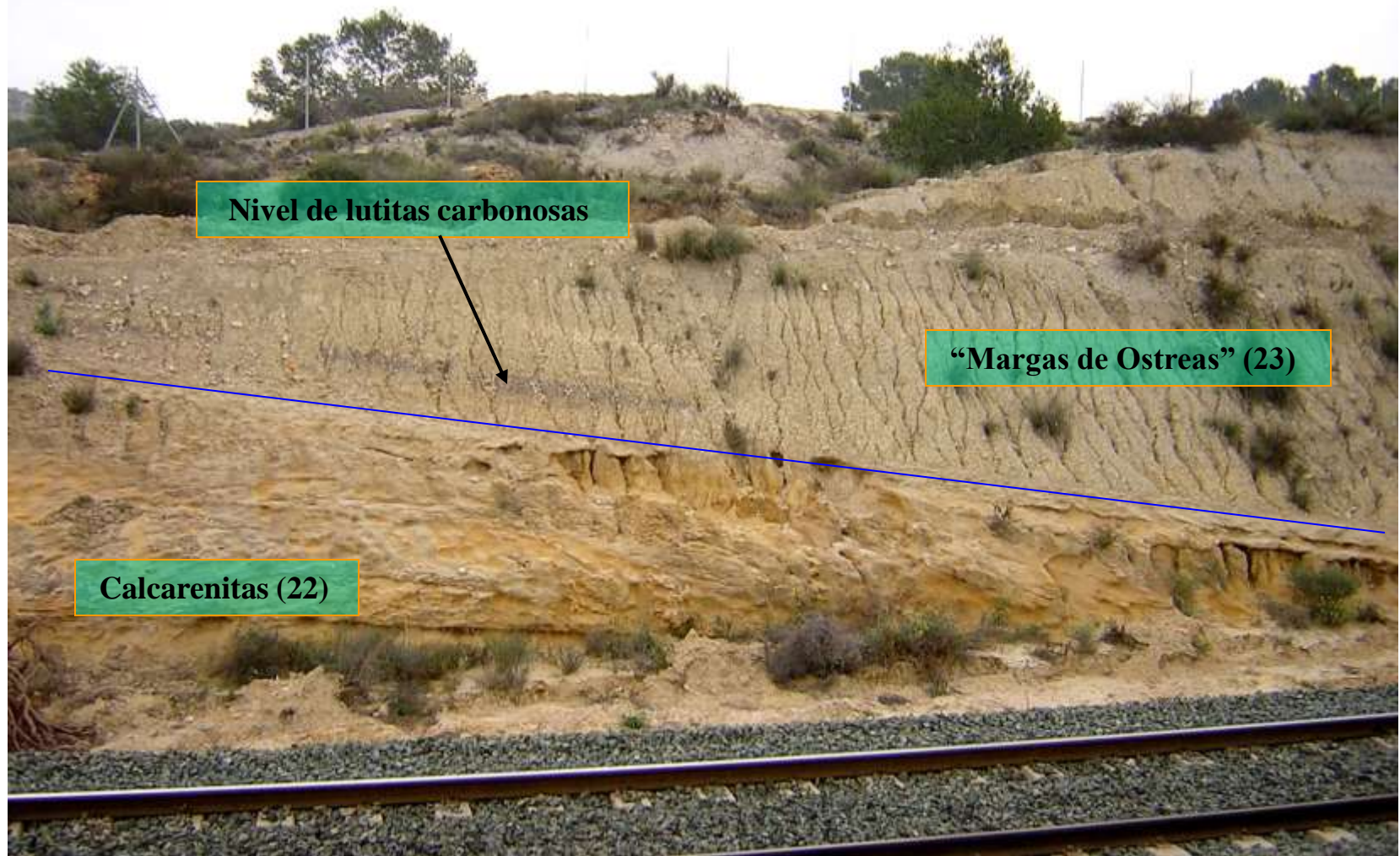
27-37-IN-FL- F 43.- En la serie de Río Seco y en la localidad de la foto anterior sobre las secuencias descritas, aflora el conglomerado polimictico de la base de la Unidad (28)



27-37-IN-FL- F 44.- Otro vista del conglomerado (28) de la fotografía anterior en la Casa Villa María.



27-37-IN-FL- F 45.- La serie del Puerto de San Pedro a lo largo de l ferrocarril Murcia-Cartagena. Posiblemente sea uno de los afloramientos de mejor calidad para observar el registro sedimentario del transito Mioceno-Plioceno en los sectores NE de la Cuenca del Campo de Cartagena.



27-37-IN-FL- F 46.- Puerto de San Pedro. Intercalación de areniscas calcáreas bioclánticas amarillas (22), en las “Margas de Ostreas” (23). Obsérvese la presencia de capas de lutitas carbonosas en estas margas.



27-37-IN-FL- F 47.- Las “Margas de Ostreas” (23), en esta serie. Obsérvese las intercalaciones de areniscas amarillas y de capas de yeso blanco



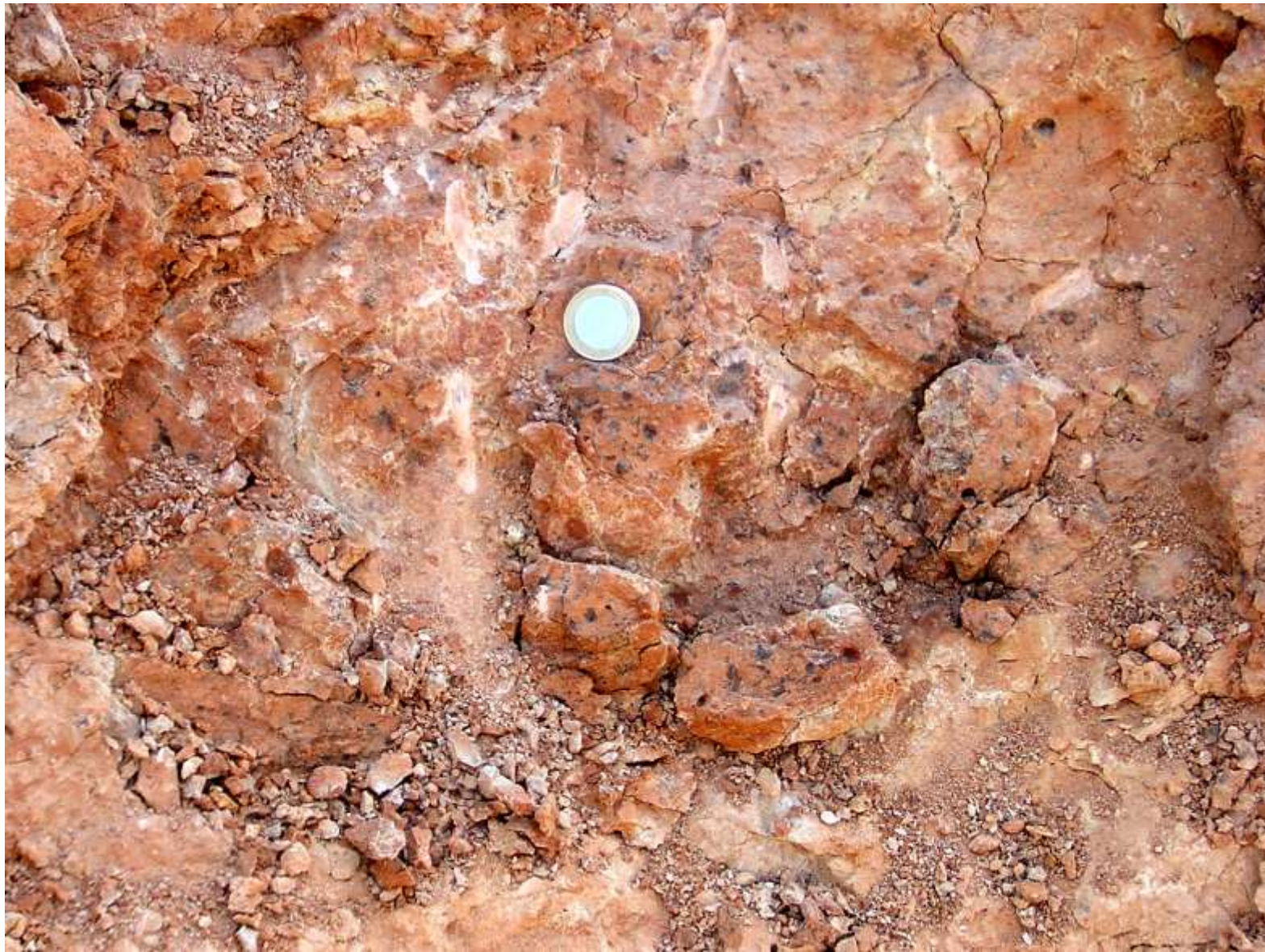
27-37-IN-FL- F 48.- Conglomerado polimictico basal de la unidad (26), erosivo sobre las lutitas carbonatadas policolores del techo de las Margas de Ostreas (23).



27-37-IN-FL- F 49.- Mudstone dismicríticas. Birdseyes llenos de sílice amorfa de color rosado. Formación Calizas de San Pedro (27)



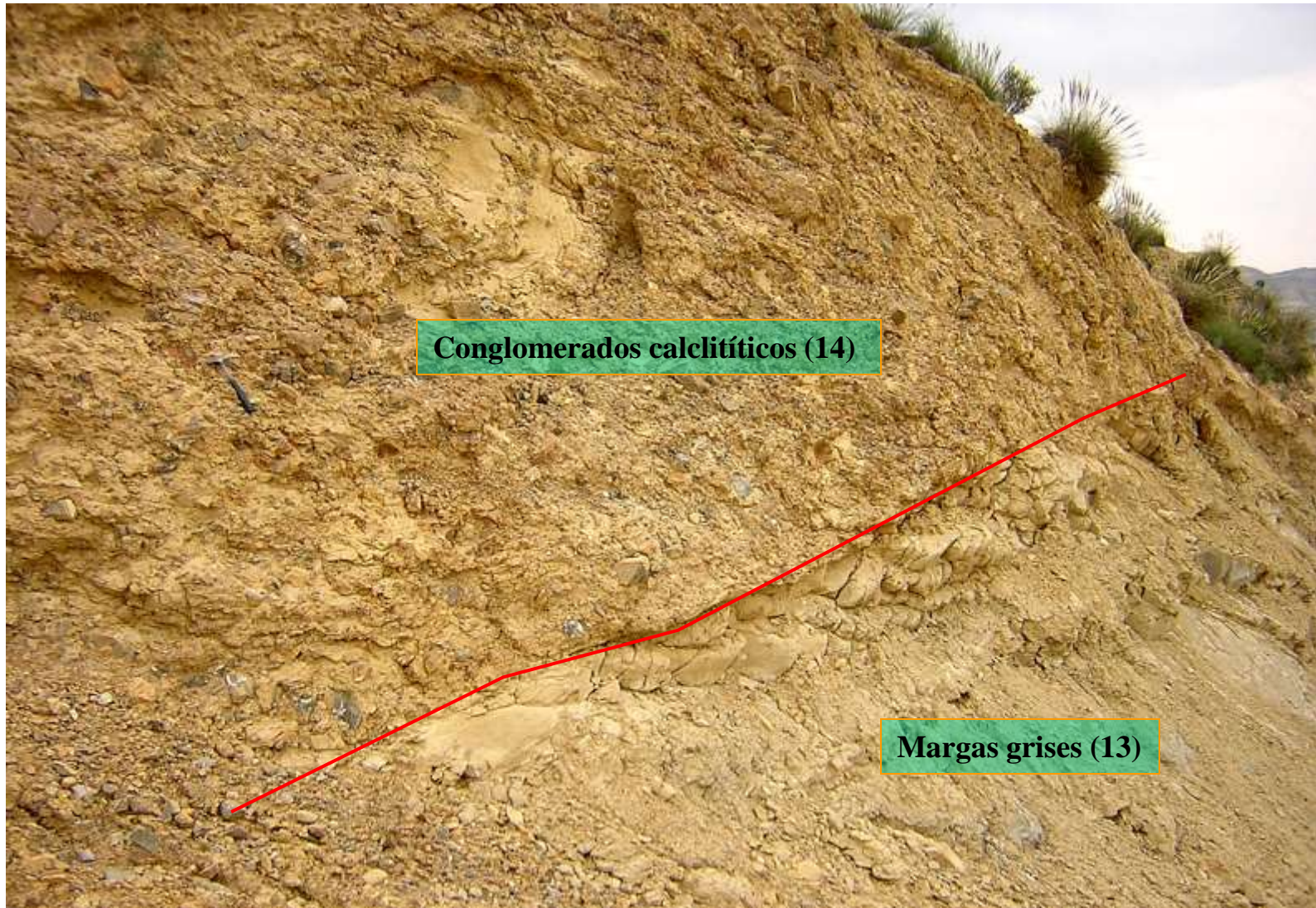
27-37-IN-FL- F 50.-Contacto discordante entre la F. Calizas de S. Pedro y los Conglomerados y lutitas rojos de la Unidad aluvial (28)



27-37-IN-FL- F 51.- Lutitas carbonatadas policolores con abundantes oóides ferromanganesíferos. Techo de las Unidad (27).



27-37-IN-FL- F 52.- Conglomerado polimictico de grano a matriz soportado y con cemento carbonatado. Base erosiva de la unidad aluvial (28) sobre las lutitas carbonatadas con oóides de Fe-Mn (27)



27-37-IN-FL- F 53.- Conglomerados calcíticos y areniscas calcáreas (14). Nivel de Atalaya discordante sobre las margas grisáceas (13). Carretera. Urbanización Monte Alto Km 17 de la Carretera de Los Garres a Sucina



27-37-IN-FL- F 54.- Alternancia de areniscas calcáreas bioclásticas (facies de tidalitas) y margas (19) en los afloramientos de las Casas del Pocico. Km 20 de la Carretera de Los Garres a Sucina



27-37-IN-FL- F 55.-Conglomerados y areniscas calcáreas biclásticas con grava dispersa (18).
Afloramiento de las Lomas del Retamonar. Sector oriental de la Sierra de Altaona



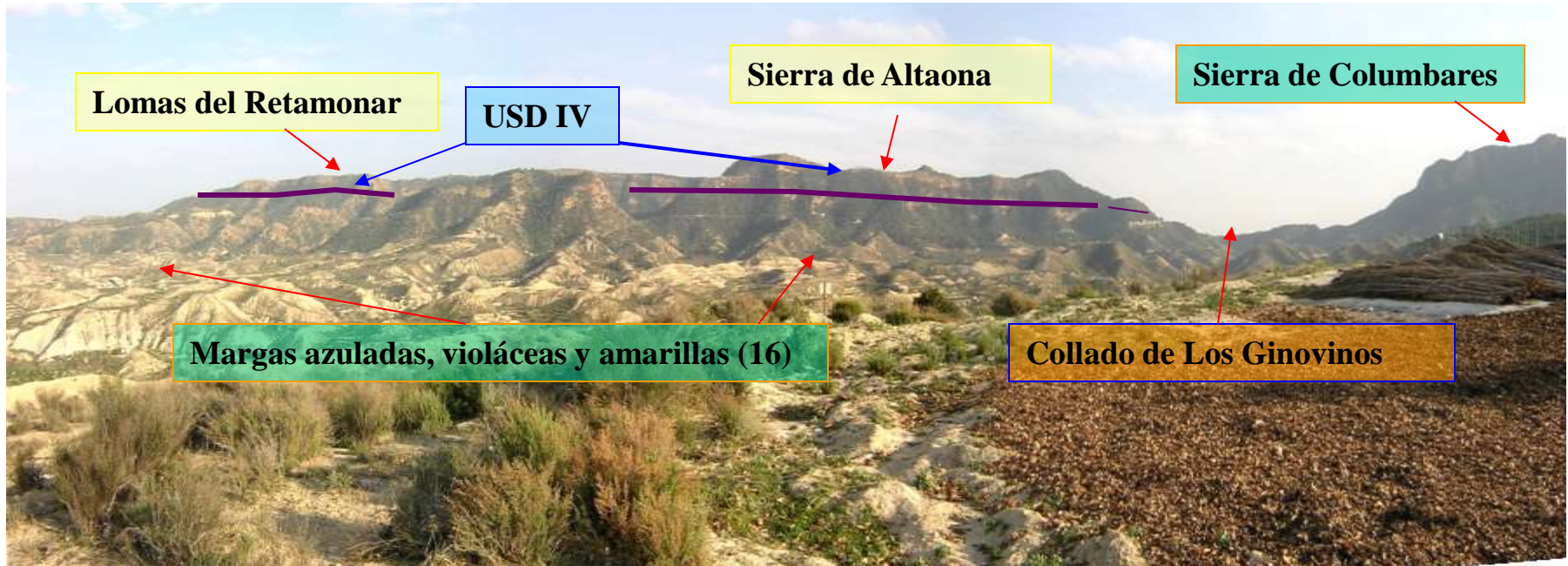
27-37-IN-FL- F 56.- En las Lomas del Retamonar, areniscas calcáreas bioclásticas con grava dispersa (19) con estratificación cruzada en surc. Relleno de canal, posiblemente mareal.



27-37-IN-FL- F 57.- Conglomerados, areniscas calcáreas bioclásticas y margas (19), en los afloramientos entre las Lomas del Retamonar y la Sierra de Altaona.



27-37-IN-FL- F 58.- Conglomerado calcítico subvertical y erosivo (14), aflorante en la carretera del Cerro de la Plata a la altura del Matadero Municipal



27-37-IN-FL- F 59.- Panorámica N-S desde el paraje de Los Rodaderos de las Sierras de Columbares y de Altaona. Entre ambas el Collado de Los Ginovinos.



27-37-IN-FL- F 60.- Las margas gris-violáceas y areniscas de la Unidad (16), suavemente plegados, en los afloramientos cercanos la Collado de Los Ginovinos. Carretera del Caberzo de La Plata a Sucina.



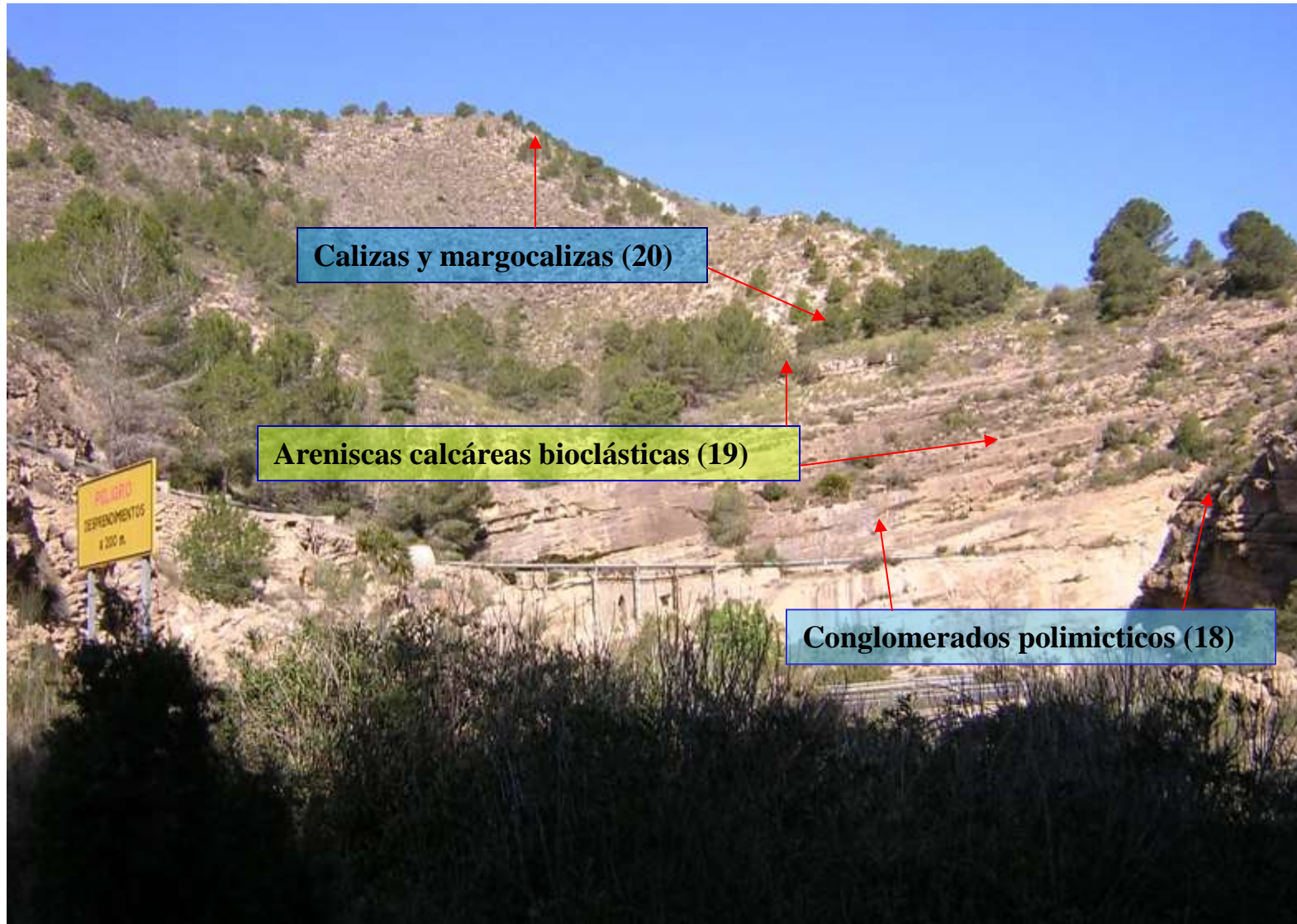
27-37-IN-FL- F 61.- Conglomerados polimícticos de la Unidad (18) en el Collado de Los Ginovinos



27-37-IN-FL- F 62.- La discordancia angular y erosiva (limite de tipo I) entre las USD III y IV en el Puerto del Garruchal. Carretera de Los Garres a Las Casas del Cura



27-37-IN-FL- F 63.- Conglomerados polimícticos, heterométricos, granosportados y bien redondeados (18). Puerto del Garruchal. Carretera de Los Garres a Las Casas del Cura



27-37-IN-FL- F 64.- Panorámica de las unidades basales de la USD IV en el Puerto del Garruchal. Carretera de Los Garres a Las Casas del Cura



27-37-IN-FL- F 65.- “Rough cleavage” en los conglomerados y areniscas calcáreas de la Unidad (18), ocasionado por la cizalla N10E del Puerto del Garruchal. Carretera de Los Garres a Las Casas del Cura



**27-37-IN-FL- F 66.- Planos de la cizalla del Puerto del Garrucha con estrías buzando 40°S .
Carretera de Los Garres a Las Casas del Cura**



**27-37-IN-FL- F 67.- Rockground en el techo de los los conglomerados de la Unidad (18).
Puerto del Garruchal. Carretera de Los Garres a Las Casas del Cura**

Calizas y margocalizas blancas (20)

Areniscas calcáreas bioclásticas (19)

Conglomerados (18)



27-37-IN-FL- F 68.- Morfología de talud y frente deltaico en las unidades de la USD IV que afloran en el Puerto del Garruchal. Carretera de Los Garres a Las Casas del Cura



27-37-IN-FL- F 69.- Megasecuencias grano y estratocrecientes (CUS) en las areniscas calcáreas bioclásticas y margas de la Unidad (19). Puerto del Garruchal. Carretera de Los Garres a Las Casas del Cura



27-37-IN-FL- F 70.- Calizas y margocalizas blancas de la Unidad (20) en el Puerto del Garruchal. Carretera de Los Garres a Las Casas del Cura



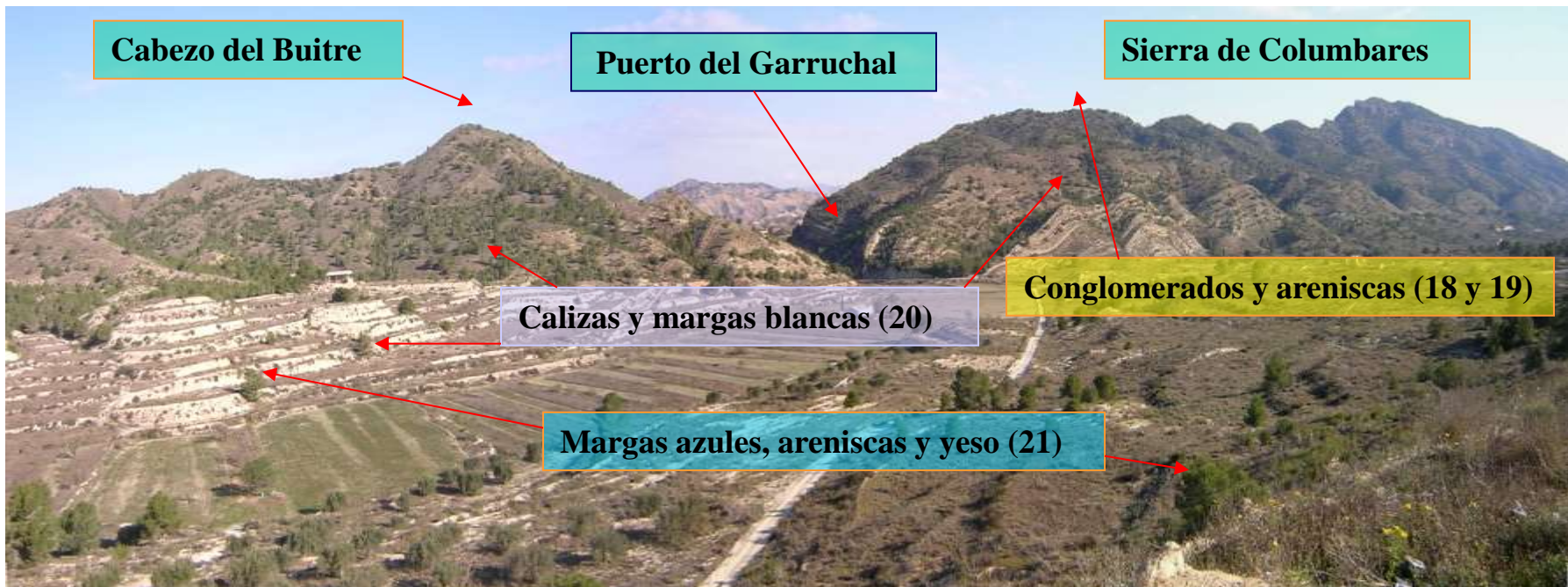
27-37-IN-FL- F 71.- Secuencias grano y estratocrecientes (CUS) en las margas y areniscas calcáreas bioclasticas de la Unidad (19). Puerto del Garruchal. Carretera de Los Garres a Las Casas del Cura



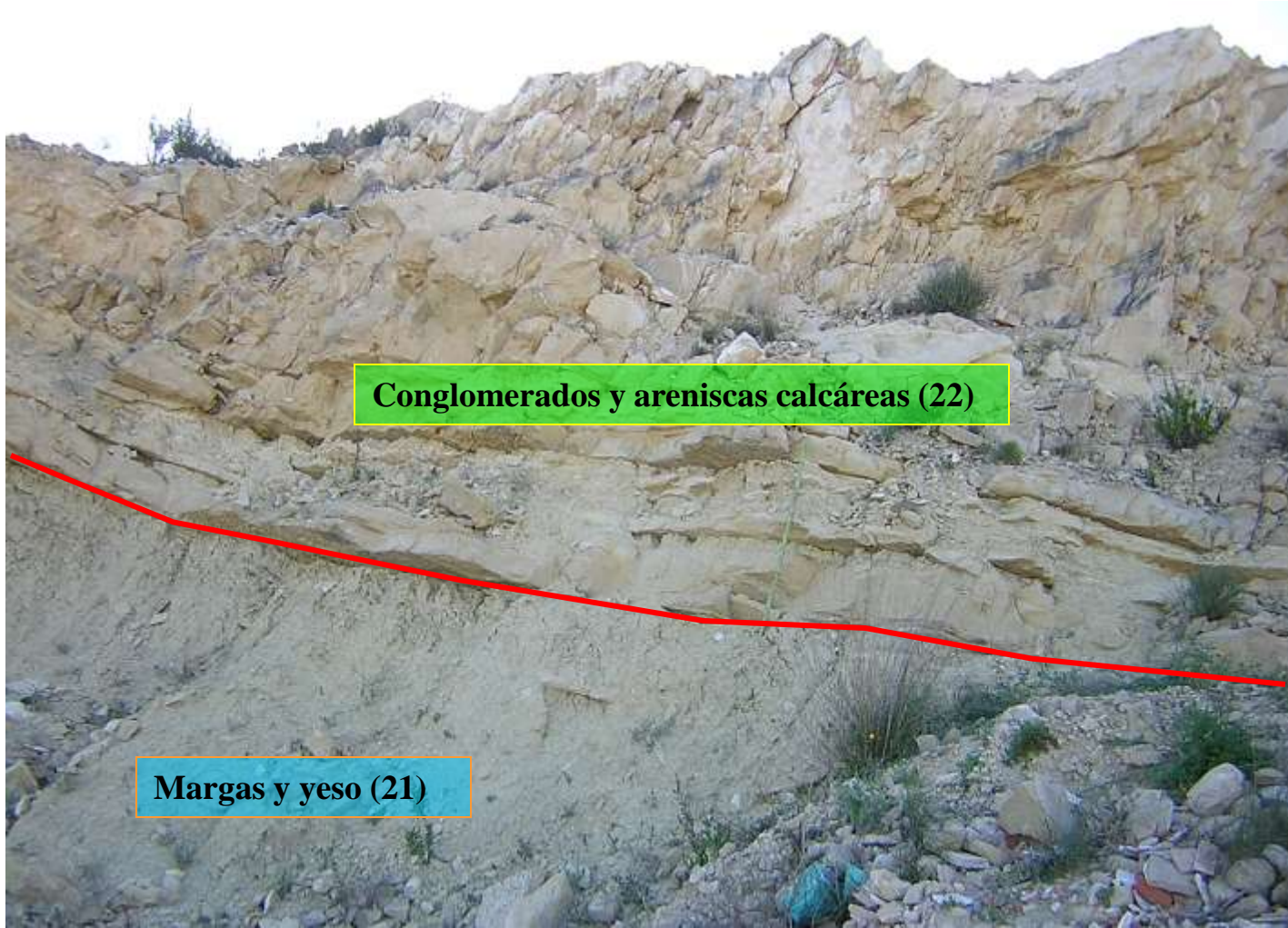
27-37-IN-FL- F 72.- Otra vista de estas secuencias (CUS). Obsérvese como la macrosecuencia esta estructurada en secuencias decimétricas (CUS) de segundo orden. Puerto del Garruchal. Carretera de Los Garres a Las Casas del Cura



27-37-IN-FL- F 73.- Secuencia CUS con rockground a techo de la capa de areniscas calcáreas bioclásticas. Puerto del Garruchal. Carretera de Los Garres a Las Casas del Cura



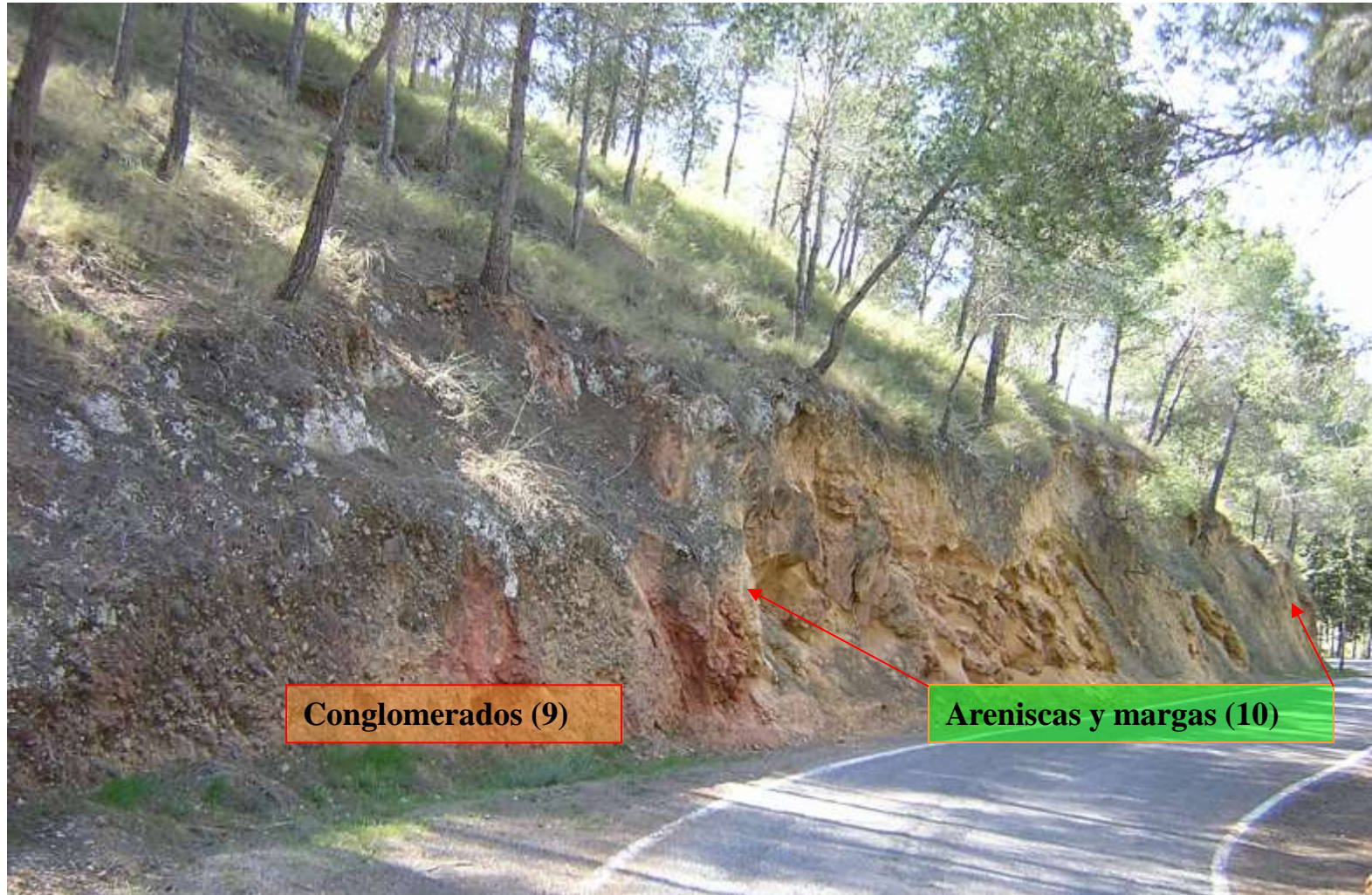
27-37-IN-FL- F 74.- Panorámica del Puerto del Garruchal desde el Collado de Las Zorras. Obsérvese como la Unidad carbonatada (20), tiene un rápido acuñamiento lateral en la vertiente meridional de la Sierra de Columbares. Carretera de Los Garres a Las Casas del Cura



27-37-IN-FL- F 75.- La discordancia basal (límite de tipo 1), de la USD V. Conglomerados y areniscas calcáreas de grano medio-grueso con estratificación cruzada en surco (22), sobre las margas azules con capas de yeso (21). Collado de Las Zorras. Carretera de Los Garres a Las Casas del Cura



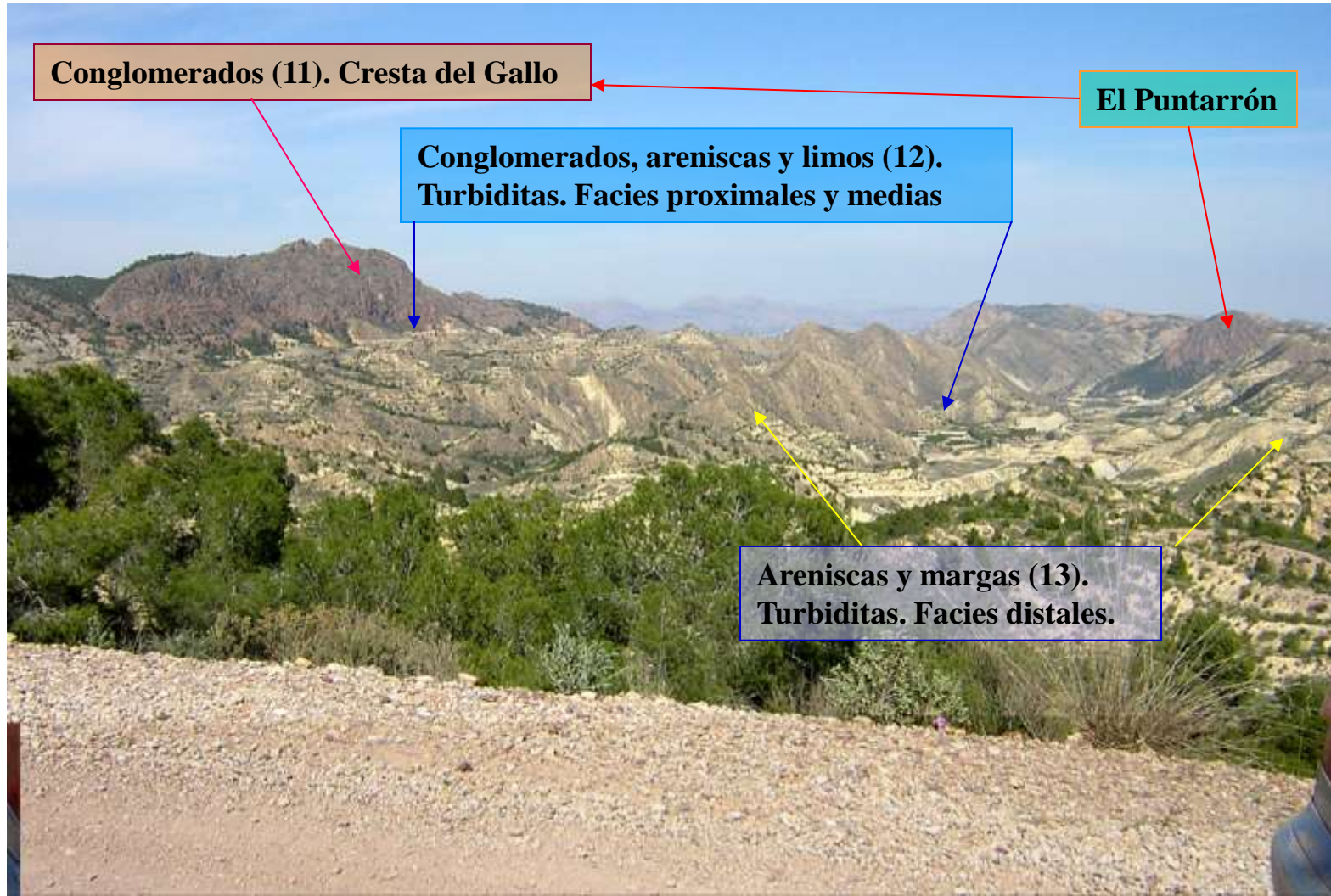
27-37-IN-FL- F 76.- Conglomerado polimictico y heterométrico (9). “Conglomerado del Relojero, en el Mirador de La Naveta, discordante sobre las dolomías (8), de la Unidad de Navela (C.Maláguide)



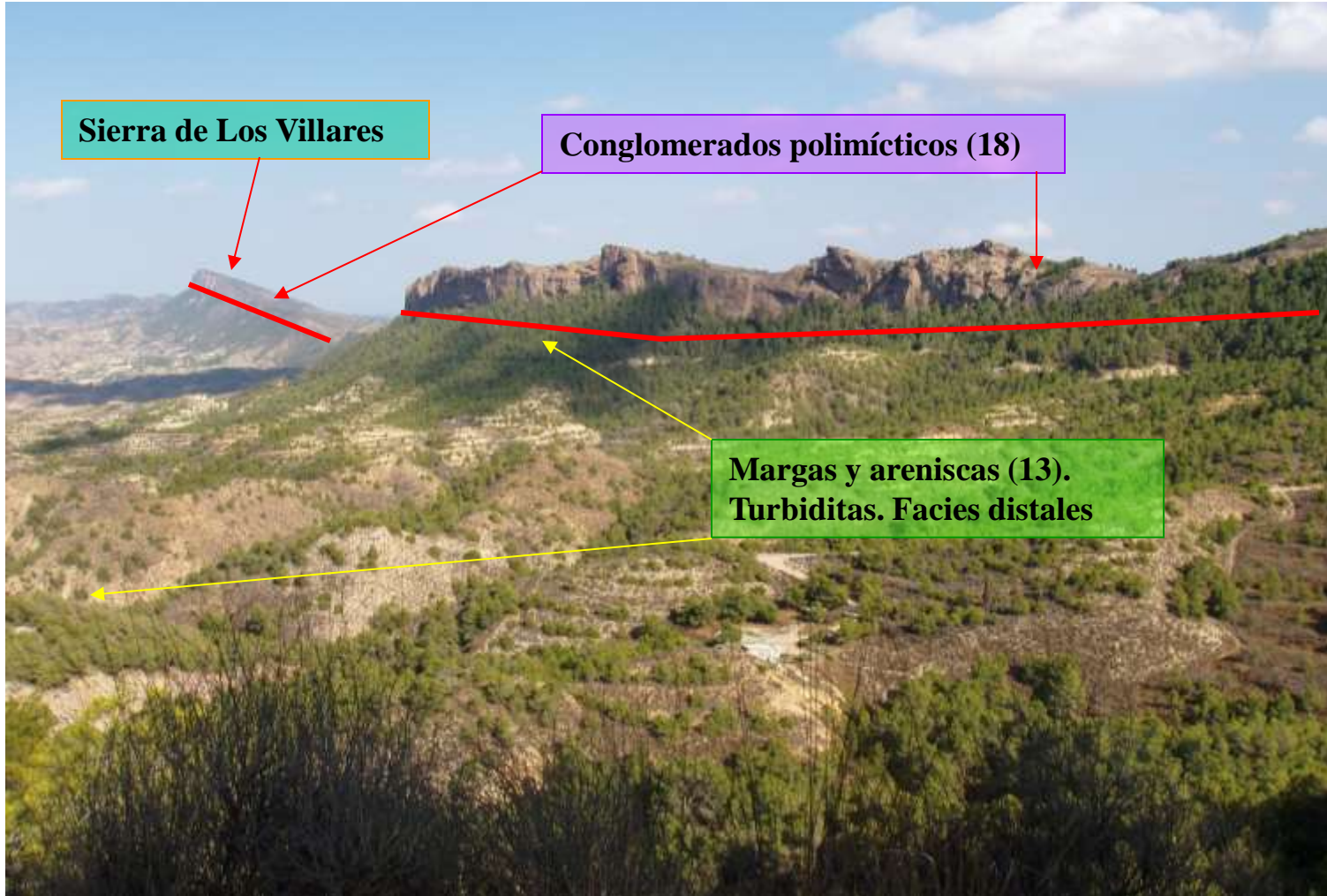
27-37-IN-FL- F 77.- Conglomerados (9), areniscas y margas (10), de la Unidad del Relojero. Carretera de bajada desde el Repetidor del Vértice del Relojero a la Casa de la Guardería Forestal



27-37-IN-FL- F 78. Conglomerados polimícticos y heterométricos (11)."Conglomerado de La Cresta del Gallo". Vista de estos conglomerados desde la Casa de La Naveta, en la carretera de subida al Repetidor del Relojero.



27-37-IN-FL- F 79.- Panorámica hacia el Este, desde el Repetidor del Relojero.



27-37-IN-FL- F 80.- Panorámica hacia el SE, desde el Repetidor del Relojero



27-37-IN-FL- F 81.- Conglomerados polimícticos y heterométricos (11). “Cresta del Gallo. Pista forestal desde el Repetidor del Relojero a las Casas de Los Puros.



27-37-IN-FL- F 82.- Facies distales de los conglomerados de la Cresta del Gallo (11) en la Pista del Repetidor a las Casas de Los Puros. Secuencias HCS con términos de gravas-areniscas y carbonatos dismictíticos a techo. Obsérvense las láminas de lutitas rojo-violáceas como depósitos intercapas